

# مطالعه اثرات ضد میکروبی نانوذرات نقره پوشش دار شده با آلجینات *Dulcicalothrix alborzica* بیوسنتز شده توسط

بهاره نوروزی\*، حسن بیرانوند<sup>۱</sup>

## مقاله پژوهشی

**مقدمه:** امروزه، سیانوباکتری‌ها یکی از کاندیدهای مهم در بیوسنتز سبز نانوذرات هستند. با توجه به مضرات استفاده از نانوذرات ساخته شده به روش شیمیایی، هدف از این مطالعه بیوسنتز و مطالعه فعالیت ضد میکروبی نانوذرات توسط سیانوباکتریوم آبی می‌باشد.

**روش بررسی:** بیوسنتز نانوذرات نقره توسط سیانوباکتری *Dulcicalothrix alborzica* با سه روش مختلف بیومس تر، جوشاندن و پلی‌ساکاریدهای خارج سلولی انجام شد. برای افزایش پایداری، پوشش داری نانوذرات با استفاده از آلجینات انجام شد. مشخصه‌یابی نانوذرات با استفاده از طیف‌سنجی جذب - UV-vis، آنالیز تبدیل فوریه مادون قرمز (FTIR)، میکروسکوپ الکترونی روبشی (SEM)، میکروسکوپ الکترونی عبوری (TEM) و پتانسیل زتا انجام شد. در نهایت، خواص ضد میکروبی نانوذرات روی پاتوژن‌های بیماری‌زای ماهی انجام شد. آنالیزهای آماری با نرم‌افزار SPSS version 16 انجام شد و تفاوت معنی‌دار بین میانگین‌ها با آنالیز واریانس یک طرفه با حدود اطمینان ۹۵٪ و آزمون توکی انجام گردید و نتایج به صورت نمودار با نرم‌افزار Excel رسم شد.

**نتایج:** نتایج طیف‌سنجی، تشکیل نانوذرات نقره از عصاره سیانوباکتری در هر سه روش را تأیید کرد. نتایج FTIR نشان داد که هر سه طیف با هم مطابقت دارند که نشان‌دهنده برابری خلوص و تولید ترکیبات مشابه است. شکل‌های میکروسکوپ الکترونی، کروی بودن نانوذرات تهیه شده با روش جوشاندن را نشان دادند و نانوذرات بدون پوشش و پوشش آلجینات به ترتیب به طور میانگین قطر ۳۸ و ۱۸۰/۰۴ نانومتر داشتند. پتانسیل زتا بار مثبت روی سطح نانوذرات را نشان داد. بیشترین قطر هاله رشد در نانوذرات سنتز شده به روش جوشاندن و پوشیده شده با آلجینات مشاهده شد. نتایج مشابهی در بررسی خواص ضد قارچی نانوذرات مشاهده شد و *Saprolegnia* در بین دو گونه مورد مطالعه حساسیت بیشتری به نانوذرات سنتز شده نشان داد.

**نتیجه‌گیری:** جنس جدید *Dulcicalothrix alborzica*، به عنوان یک سویه بالقوه در تولید نانوذرات نقره، خواص و کارایی منحصر به فردی برای استفاده در بیوتکنولوژی میکروبی خواهد داشت.

**واژه‌های کلیدی:** اثرات ضد میکروبی، نانوذرات نقره پوشش دار شده، آلجینات، *Dulcicalothrix alborzica*، پاتوژن‌های ماهی

**ارجاع:** نوروزی بهاره، بیرانوند حسن. مطالعه اثرات ضد میکروبی نانوذرات نقره پوشش دار شده با آلجینات بیوسنتز شده توسط *Dulcicalothrix alborzica*. مجله علمی پژوهشی دانشگاه علوم پزشکی شهید صدوقی یزد ۱۴۰۳؛ ۳۲ (۸): ۴۰-۱۱۸.

۱- گروه بیوتکنولوژی، دانشکده علوم و فناوری‌های همگرا، واحد علوم و تحقیقات، دانشگاه آزاد اسلامی، تهران، ایران.

\* (نویسنده مسئول): تلفن: ۰۹۱۱۳۷۱۰۹۵۶، پست الکترونیکی: bahareh.nowruzi@srbiau.ac.ir، صندوق پستی: ۱۴۷۷۸۹۳۸۵۵

زیادی از نقاط خرده‌فروشی قرار دارند و فراوانی تجزیه ماهی و عدم قطعیت فروش آن‌ها در بازار وجود دارد. هنگامی که ماهی به مقدار زیاد، بیشتر از نیاز بازار برداشت می‌شود، نگهداری و فرآوری آن‌ها برای کاربردهای آینده آن‌ها ضروری می‌شود. بنابراین نگهداری و فرآوری اجزای آبزیان ضروری هستند. این روش‌ها با این هدف انجام می‌شوند که ماهی‌ها برای مدت طولانی‌تر، با حداقل از دست دادن ویژگی‌های کیفی ضروری، ارزش غذایی و قابلیت هضم گوشت آن‌ها تازه و ایمن باقی‌مانند. برای جلوگیری از فاسد شدن ماهی و افزایش ماندگاری غذاهای دریایی، تکنیک‌های نگهداری زیادی مورد نیاز است. این تکنیک‌ها برای مهار رشد، تکثیر باکتری‌های فاسد و تغییرات متابولیکی که منجر به از دست دادن کیفیت ماهی می‌شود، طراحی شده‌اند (۴). در صنایع آبزی‌پروری و غذاهای دریایی، فناوری نانو پتانسیل گسترده‌ای برای کاربرد دارد. از جمله، فناوری می‌تواند به‌طور موثر از بیماری‌ها و عوامل بیماری‌زا پیشگیری کند و مزایای آبزی‌پروری را چند برابر کند. برخی از کاربردهای نانوتکنولوژی برای سلامت ماهی، سطوح ضد باکتری یا ضد قارچی هستند که با استفاده از نانوساختارهای متخلخل و نانوحس‌گرها در سیستم‌های آبزی‌پروری برای تشخیص عوامل بیماری‌زا در آب و تأمین محصولات نانو دامپزشکی و داروهای ماهی از طریق غذاهای ماهی توسعه یافته‌اند (۵). کنترل ویروس، باکتری و قارچ مستلزم تشخیص زودهنگام است و از بین بردن پاتوژن‌ها می‌تواند از طریق نانومواد امکان‌پذیر باشد، زیرا آن‌ها در مقیاسی مشابه ویروس یا بیماری‌آلوده کننده ذرات عمل می‌کنند (۶). با این حال، نگرانی‌های مرتبط با ایمنی نانو هنوز وجود دارد و باید قبل از اجرای کامل آن‌ها برطرف شود. اثرات سمی نانوذرات به عوامل مختلفی از جمله تعامل پیچیده بین ویژگی‌های ذرات مانند قطر، فرم، بار سطحی، غلظت، زمان قرار گرفتن در معرض، ماهیت نانوذرات، ترکیب محیط، مسیر تزریق ذرات و سیستم ایمنی گونه‌های هدف بستگی دارد. بنابراین، جالب است که بررسی کنیم که چگونه با کمک تکنولوژی نانو می‌تواند بر مشکلات فساد آبزیان غلبه کرد (۷). بیوسنتز نانو

رشد، تکامل و سلامت بدن انسان تحت تأثیر غذایی است که می‌خورد در حقیقت رژیم غذایی به عنوان عامل محیطی موثر برای رشد بدن انسان در نظر گرفته می‌شود. صید و پرورش ماهی یکی از مهم‌ترین منابع غذایی در سراسر جهان است و از نظر اقتصادی نیز اهمیت زیادی دارد. با این حال، صنعت آبزی‌پروری با چالش‌های متعددی از جمله بیماری‌های عفونی ماهی مواجه است که می‌تواند منجر به مرگ و میر گسترده ماهی‌ها و خسارات اقتصادی قابل‌توجهی شود. بیماری‌های عفونی ماهی را می‌توان به سه دسته کلی باکتریایی (استریپتوکوکوس، آئروموناس هیدروفیلا، سودوموناس و ویبریو که شایع‌ترین آن‌ها هستند)، قارچی و انگلی تقسیم‌بندی کرد (۱). کنترل سنتی بیماری‌های ماهی عمدتاً به استفاده از آنتی‌بیوتیک‌ها متکی است. با این حال، نگرانی‌های فزاینده‌ای در مورد مقاومت ضد میکروبی در برابر آنتی‌بیوتیک‌ها و اثرات مخرب زیست‌محیطی آن‌ها وجود دارد. در مقابل، نانوذرات نقره سنتز شده با سیانوباکتری‌ها جایگزینی امیدوارکننده و سازگار با محیط زیست برای آنتی‌بیوتیک‌ها ارائه می‌دهند. مطالعات متعددی نشان داده‌اند که نانوذرات نقره سنتز شده با سیانوباکتری‌ها فعالیت ضد باکتریایی قوی در برابر طیف گسترده‌ای از پاتوژن‌های ماهی، از جمله باکتری‌های گرم مثبت و گرم منفی دارند. به عنوان مثال، Ameen و همکاران گزارش دادند که نانوذرات نقره سنتز شده با *Spirulina platensis* فعالیت ضد باکتریایی قوی در برابر *Aeromonas parahaemolyticus* *Vibrio hydrophila* و *Streptococcus iniae* نشان دادند (۲) علاوه بر این، Younis و همکاران نشان دادند که نانوذرات نقره سنتز شده با *Phormidium cyanobacterium* علاوه بر فعالیت ضد میکروبی، خواص ضد التهابی و آنتی‌اکسیدانی نیز نشان دادند که می‌تواند به‌طور بالقوه به بهبود سلامت ماهیان آسیب‌دیده از بیماری‌های عفونی کمک کند (۳). حفظ ماهی یک جنبه فرآوری بسیار مهم در شیلات است. به‌طور معمول، مزارع پرورش ماهی یا سایر سایت‌های صید ماهی در فواصل

ذرات از روش‌های شیمیایی، فیزیکی و بیولوژیکی و همچنین از طریق مسیرهای درون سلولی و خارج سلولی توسط انواعی از میکروارگانیسم‌ها انجام می‌شود. در حال حاضر، بیشتر روش‌های سنتز شیمیایی نانو ذرات به استفاده از مواد احیا کننده سمی مثل بوروهیدرید سدیم و حلال‌های آلی مضر متکی هستند. این مواد شیمیایی خطرات بالقوه بیولوژیکی و محیطی را نشان می‌دهند. بنابراین، امروزه دانشمندان را بر آن داشت تا از رویکردهای شیمیایی سبز، روش‌های زیست سازگار، تمیز، دوست‌دار محیط زیست و ایمن برای سنتز نانو مواد استفاده کنند (۸). بیوسنتز نانوذرات با استفاده از گیاهان به مساحت وسیع و دوره‌های رشد نسبتاً طولانی نیاز دارد که در نهایت امکان‌سنجی فرآیند سنتز را محدود می‌کند. در حال حاضر، در میان رویکردهای شیمی سبز، سیانوباکترها، یکی از بزرگترین متنوع‌ترین و مهم‌ترین گروه‌های باکتری‌های فوتوتوتروف روی زمین به دلیل سرعت رشد بالا و بهره‌وری زیست توده، توجه ویژه‌ای را برای سنتز نانومواد به خود جلب کرده‌اند (۹). در سال‌های اخیر، نانو ذرات نقره با افزایش تقاضا به دلیل طیف وسیعی از کاربردهای آن در الکترونیک، نانوپزشکی، انرژی، حسگرهای زیستی، کاتالیزور و فعالیت‌های ضد باکتریایی و ضد قارچی در کانون توجه قرار گرفته‌اند (۱۰). همچنین، در مقایسه با روش‌های سنتی، روش‌های سبز امکان ساخت اشکال مختلف نانوذرات را فراهم می‌کنند که با ویژگی‌های منحصر به فرد در شرایط فشار و دمای ملایم متمایز می‌شوند. در بین روش‌های بیولوژیکی، سنتز نانوذرات نقره توسط باکتری‌ها به دلیل پایداری، زیست سازگاری، مقرون به صرفه بودن، غیرسمی بودن آن در حال افزایش است و به راحتی می‌توان از آن برای تولید انبوه استفاده کرد. تعدادی از گونه‌های سیانوباکتری متعلق به راسته *Nostocales*، *Oscillatoriales* و *Synchococcales* در مطالعات مختلف برای سنتز نانو ذرات نقره استفاده شده‌اند (۹). توسعه سریع نانوتکنولوژی و نانومواد منجر به نیاز به اصلاح سطح نانوذرات برای کاربردهای مختلف شده است. نانو ذرات به دلیل تمایلشان به متراکم شدن بر اساس نیروی واندروالس، نیازمند پایدار شدن در مایع حامل می‌باشند. برای این منظور، نانو ذرات

توسط یک سورفیکانت یا پلیمر پوشش داده می‌شوند. پوشش‌دار کردن نانو ذرات با گروه‌های آمینه، سیلیس، سورفکتانت‌های پلیمری یا ترکیبات آلی دیگر معمولاً به منظور دستیابی به خواص فیزیکی و شیمیایی بهتر ارائه شده است. علاوه بر این بسیاری از گروه‌های عاملی پلیمرهای سطحی می‌توانند برای افزایش کاربرد به منظور دستیابی به ویژگی‌های مختلف مورد استفاده قرار بگیرند (۱۱).

نانو ذرات نقره به دلیل ویژگی‌های منحصر به فرد خود، از جمله سطح ویژه بالا و پایداری، و فعالیت ضد میکروبی قوی، به عنوان مواد ضد میکروبی در حوزه‌های مختلف، از جمله صنایع آبی‌پروری، مورد توجه قرار گرفته‌اند. پوشش‌داری نانوذرات نقره مزایای متعددی از جمله بهبود پایداری، کاهش سمیت و افزایش زیست سازگاری نانوذرات را به همراه دارد. نانو ذرات نقره در مقابل بسیاری از پاتوژن‌ها فعالیت ضد میکروبی قابل توجهی نشان داده‌اند و راهی کنترل کننده در درمان بسیاری از بیماری‌ها هستند (۱۲). برای پوشش‌دار سازی نانوذرات، از طیف وسیعی از نانوکامپوزیت‌ها و پلی‌ساکاریدها استفاده می‌شود. انتخاب ماده پوشش‌دهی به عوامل مختلفی از جمله خواص مورد نظر نانوذره، کاربرد نهایی و روش‌های تولید بستگی دارد. علاوه بر کاربرد در بسیاری از روش‌های زیستی، آلجینات و نانوکامپوزیت‌های حاصل از آن به دلیل اثرات ضد میکروبی، دارای کاربردهای پزشکی قابل توجهی در مقابل بسیاری از میکروارگانیسم‌ها هستند. پوشش‌دار سازی نانوذرات با آلجینات، مسمومیت بسیار کمتری در مقایسه با سایر پلی‌ساکاریدهای طبیعی دیگر دارد و کاربردهای بسیار وسیعی در زیست پزشکی دارد (۱۳). عصاره سیانوباکتری‌ها حاوی ترکیبات فعال زیستی مانند پروتئین‌ها، لیپیدها، پلی‌ساکاریدها، روغن‌ها، ویتامین‌ها، تریپن‌ها، استرها، پلی‌فنل‌ها، کاروتنوئیدها دارای خواص ضد باکتریایی، ضد قارچی، آنتی‌اکسیدانی، ضد سرطانی هستند که در توسعه داروهای جدید ضروری هستند. در این مطالعه، اثرات ضد میکروبی نانوذرات نقره پوشش‌دار شده با آلجینات بیوسنتز شده توسط سویه *Dulcicalothrix alborzica* که به عنوان گونه جدید اولین بار توسط نوروزی و شالگین در سال ۲۰۲۱ از

آبهای روان از کوه‌های البرز جمع‌آوری و خالص‌سازی شده است، در مقابل پاتوژن‌های ماهی مورد بررسی قرار گرفت (۱۴).

کشت سیانوباکتری *Dulcicalothrix alborzica* از مجموعه کشت سیانوباکتری‌های دانشگاه آزاد واحد علوم و تحقیقات

آبهای روان از کوه‌های البرز جمع‌آوری و خالص‌سازی شده است، در مقابل پاتوژن‌های ماهی مورد بررسی قرار گرفت (۱۴).

### روش بررسی

کشت سیانوباکتری *Dulcicalothrix alborzica* از مجموعه کشت سیانوباکتری‌های دانشگاه آزاد واحد علوم و تحقیقات



شکل ۱: کشت سیانوباکتری *Dulcicalothrix alborzica*

۴۵۰ نانومتر به عنوان سویه‌های تولیدکننده نانو ذرات شناسایی شدند (۱۶).

### ۲: روش جوشاندن

کشت‌های سیانوباکتر به مدت ۱۰ دقیقه با سرعت ۲۵۰۰ rpm، تا تشکیل بیومس سانتریفیوژ شدند. سپس باقی‌مانده سیانوباکتری‌ها در آون با دمای ۶۰ °C خشک شدند. ۱ گرم از زیست توده خشک در ۱۰ میلی‌لیتر آب دوبار تقطیر به مدت ۱۵ دقیقه در دمای ۱۰۰ °C جوشانده شدند. پس از سرد شدن مخلوط، مجدداً به مدت ۱۵ دقیقه با سرعت ۱۰۰۰۰ rpm سانتریفیوژ شدند. سوپرناتانت جمع‌آوری و در دمای ۴ °C نگهداری شدند. عصاره‌های فاقد سلول سویه‌های سیانوباکتری برای سنتز نانوذرات نقره استفاده شدند. برای این منظور، ۲ میلی‌لیتر از عصاره مذکور، درون ۱۰ میلی‌لیتر محلول نقره ۱ میلی‌مولار ریخته و به‌طور مداوم در دمای ۱۰۰ °C همزده شدند. محلول بی‌رنگ به تدریج به قهوه‌ای مایل به زرد تبدیل و سپس به آرامی به قهوه‌ای تبدیل شد (بعد از ۴۵ دقیقه). نانوذرات نقره سنتز شده، به کمک سانتریفیوژ با سرعت ۱۵۰۰۰ rpm، ۲۰ دقیقه در دمای ۴ °C جمع‌آوری

### بیوسنتز نانوذرات نقره

#### ۱: روش استفاده از بیومس تر

کشت‌های فاز لگاریتمی سیانوباکتری *Dulcicalothrix alborzica* با سانتریفیوژ با دور ۵۰۰۰ به مدت ۱۰ دقیقه در دمای ۲۰ °C جدا شدند و ۳ بار با آب مقطر استریل شسته شدند. سپس یک گرم از بیومس وزن مرطوب درون فلاکس‌های ۵۰۰ و ۱۰۰ میلی‌لیتر از محلول آبی ۱، ۲ و ۳ میلی‌مولار نیترات نقره، با pH=۷ تلقیح شد. در نهایت مخلوط در دمای ۲۵ °C به مدت ۲۴ ساعت گرمخانه‌گذاری شدند. به عنوان شاهد از محیط کشت تازه BG11 با افزودن نیترات نقره استفاده شد. شرایط تاریکی با بسته‌بندی فلاسک‌ها به کمک فویل آلومینیومی فراهم شد (۱۶).

طیف‌سنجی نانو ذرات نقره سنتز شده به روش بیومس تر: نمونه‌برداری از هر محلول در دوره‌های زمانی مختلف (۰، ۱۲، ۲۴، ۴۸ و ۷۲ ساعت) انجام گرفت. نمونه‌های ۱ میلی‌لیتری هر ۱۲ ساعت، به مدت ۵ دقیقه سانتیفیوژ شدند و جذب طیف UV-vis با وضوح ۱ نانومتر بین ۳۰۰ تا ۸۰۰ نانومتر با استفاده از اسپکتروفوتومتر گرفته شد. سویه‌هایی که پیک بین ۴۰۰ تا

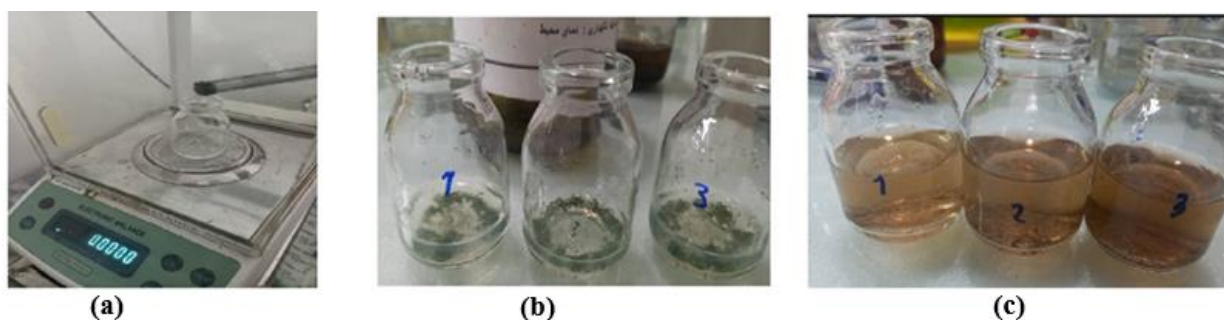
پلی‌ساکاریدهای خارج سلولی استفاده شد. مساوی با حجم سوپرناتانت، اتانول ۹۵٪ به آن اضافه گردید و یک‌شبهانه روز درون فریزر ( $-20^{\circ}\text{C}$ ) قرار داده شد. پس از سپری شدن ۲۴ ساعت، پلی‌ساکاریدها رسوب کرده و به کمک سانتریفیوژ با سرعت ۱۰۰۰۰ rpm جداسازی شدند. رسوب به‌دست آمده به کمک خشک انجمادی، خشک و وزن کل آن محاسبه شد. در نهایت، ۱/۳ میلی‌گرم/میلی‌لیتر پلی‌ساکارید خشک شده، در ۱ میلی‌لیتر محلول نیترات نقره ۱ میلی‌مولار با  $\text{PH} = 7$  تلقیح شد و در دو لوله آزمایش تقسیم شدند. محلول به‌دست آمده در دمای  $25^{\circ}\text{C}$  و نور فلورسنت قرار گرفت. سپس طیف‌سنجی در هر ۱۲ ساعت انجام شد.

شدند. پلت به دست آمده با آب مقطر چندین بار شسته شد و از اتانول ۹۰٪ برای حذف ناخالصی‌ها و تهیه نانو ذره نقره خالص استفاده شد (۱۷).

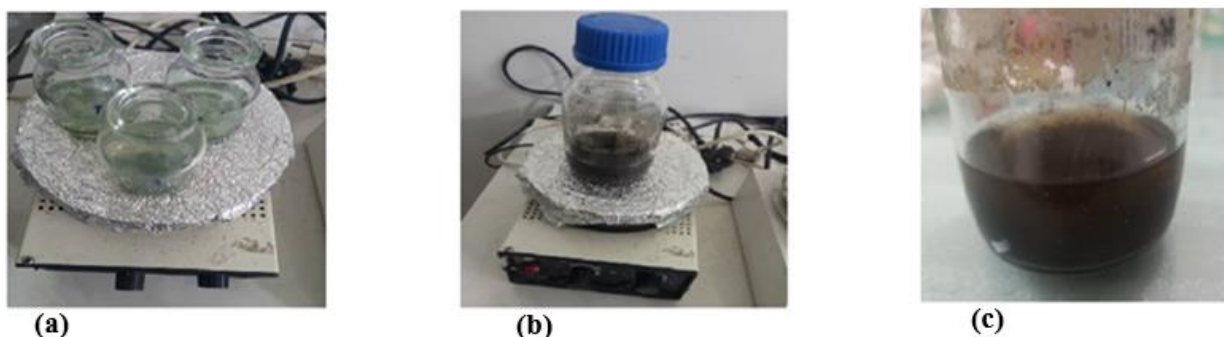
**طیف‌سنجی نانوذرات نقره سنتز شده:** برای طیف‌سنجی، ۱ میلی‌گرم نانوذره در ۴ میلی‌لیتر آب مقطر حل شد. طیف‌سنجی در طول موج ۲۰۰ تا ۷۰۰ نانومتر با استفاده از طیف‌سنجی UV-vis تعیین شد. از آب مقطر به عنوان نمونه شاهد استفاده گردید (۱۶).

**۳: سنتز نانوذرات نقره با استفاده از پلی‌ساکاریدهای خارج سلولی**

زیست توده در فاز لگاریتمی، به کمک سانتریفیوژ با سرعت ۳۰۰۰ rpm جداسازی شد و از سوپرناتانت برای جداسازی



شکل ۲: سنتز نانوذرات نقره با استفاده از روش جوشاندن (a) وزن کردن عصاره سیانوباکتری. (b) محلول بی رنگ نقره ۱ میلی‌مولار قبل از اضافه کردن عصاره. (c) تغییر رنگ محلول از بی رنگ به قهوه‌ای مایل به زرد و سپس قهوه‌ای، نشان دهنده تولید نانوذرات نقره.



شکل ۳: سنتز نانوذرات نقره با استفاده از پلی‌ساکاریدهای خارج سلولی (a) محلول پلی‌ساکارید شفاف (b) محلول پلی‌ساکارید بعد از اضافه کردن محلول نیترات نقره (قهوه‌ای رنگ) (c) محلول حاوی نانوذرات نقره سنتز شده (قهوه‌ای رنگ)

دستگاه زتا سایزر در دمای  $25^{\circ}\text{C}$  تعیین شد. اندازه گیری مستقیماً در سلول زتا یکبار مصرف شفاف انجام شد (۲۱).

**بررسی فعالیت آنتی‌باکتریال نانوذرات نقره پوشش‌دار و فاقد پوشش**

۱: معرفی و کشت پاتوژن‌های مورد بررسی: ایزوله‌های باکتریایی پاتوژنی ماهی مرتبط با *Pseudomonas*، *Edwardsiella*، *Yersinia* و *Escherichia coli* هستند که حساسیت این باکتری‌ها در برابر نانوذرات تهیه شده سنجیده شد. تمامی سویه‌های مورد بررسی روی محیط کشت آگار مولر هیلتون کشت شدند و به مدت ۵ روز در دمای  $22^{\circ}\text{C}$  گرم‌خانه گذاری شدند (۱۸).

۲: **آزمون حداقل غلظت مهارکنندگی (MIC):** از روش کدورت سنجی با غلظت‌های مختلف نانوذره پوشش‌دار شده برای ارزیابی میزان حداقل غلظت مهارکنندگی برای هر سویه باکتری استفاده گردید. در ابتدا یک لوله آزمایش شامل  $10^5$  میلی‌لیتر سوسپانسیون (۱ میلی‌گرم بر میلی‌لیتر) در محیط کشت مایع MH آماده گردید، سپس جهت رقت‌سازی در هر لوله آزمایش ۶ میلی‌لیتر محیط MH آماده و سوسپانسیون باکتری‌ها در غلظت نهایی  $10^5 \times 1$  CFU/ml به هر لوله اضافه شد. غلظت‌های مشابه از نانوذرات پوشش‌دار شده به عنوان کنترل استفاده شد. کمترین غلظتی که از رشد هر سویه باکتری جلوگیری کرد به عنوان MIC در نظر گرفته و گزارش شد (۲۲).

۳: **آزمون حداقل غلظت کشندگی (MBC):** ابتدا ۱۰۰ میکرولیتر از هر مخلوط نانوذره پوشش‌دار شده به همراه باکتری‌های پاتوژن که رشد قابل مشاهده‌ای را در طول تست MIC نشان ندادند، انتخاب و روی پلیت‌های آگار بصورت خطی کشت داده شدند و درون انکوباتور گرم‌خانه گذاری شدند. عدم وجود کلنی در صفحات نشان دهنده فقدان باکتری‌های زنده و اثر باکتری کشی نانوذرات در آن غلظت بود. از سوی دیگر، رشد کلنی بر روی صفحات نشان دهنده وجود باکتری‌های زنده و اثر باکتریو استاتیک نانوذره در آن غلظت بود (۲۲).

**پایدارسازی و پوشش‌دار کردن نانوذره تولید شده:** نانوذرات نقره با استفاده از روش احیای شیمیایی نیترات نقره با سدیم بوراید هیدرید در ماتریکس سدیم آلجینات ۴٪ وزنی/حجمی پایدار شدند. ۱۰۰ میلی‌لیتر محلول آبی سدیم آلجینات با ۱ میلی‌لیتر نانوذرات نقره سنتز شده به مدت ۶۰ دقیقه با سرعت ۲۰۰ دور در دقیقه با استفاده از همزن مغناطیسی مخلوط شد. سپس، ۱ میلی‌لیتر محلول آبی ۶۰ میلی‌مول بر لیتر سدیم بوراید هیدرید به صورت قطره قطره در عرض ۱۰ دقیقه به مخلوط اضافه شد و به مدت ۲ ساعت هم زدن ادامه یافت. دمای واکنش در طول فرآیند در  $25^{\circ}\text{C}$  درجه سانتی‌گراد حفظ شد. تغییر رنگ محلول از قهوه‌ای کم‌رنگ به قهوه‌ای پررنگ با طیف‌های مایل به سبز نشان‌دهنده پوشش‌دهی نانوذرات نقره با آلژینات بود. در نهایت، محلول کلونیدی حاصل در دمای ۴ درجه سانتی‌گراد برای جلوگیری از تخریب زیستی نگهداری شد (۱۸).

**مشخصه یابی نانوذرات سنتز شده**

۱: **آنالیز میکروسکوپ الکترونی عبوری (TEM):** تجزیه و تحلیل TEM با استفاده از ۳ میکرولیتر از محلول نمونه قرار داده شده بر روی شبکه‌های مسی با پوشش کربن انجام شد. یک لایه نازک از نمونه روی شبکه ساخته شد و نمونه‌های اضافی با استفاده از یک مخروط کاغذ لکه‌برداری برداشته شد و به‌طور متوالی در یک جعبه توری نگهداری شد و تصاویر TEM تهیه شد. ولتاژ  $200\text{ Kv}$  بود. اندازه میانگین نانوذرات نقره با اندازه‌گیری حداقل  $100$  ذره تعیین شد (۱۹).

۲: **آنالیز تبدیل فوریه مادون قرمز (FTIR):** شیمی و تغییرات گروه‌های عاملی متصل به سطح نانوذرات نقره با یک طیف‌سنج FTIR شناسایی شدند. نانوذرات خشک شده با برومید پتاسیم به نسبت  $1/100$  مخلوط شدند. نمونه  $100$  میکرولیتری در آنالیزر بازتاب کلی ضعیف قرار داده شد. محلول نانو ذرات نقره توسط ATR-FTIR آنالیز شد. طیف پرتوهای IR در طول  $4000-400$  سانتی‌متر، با حالت بازتاب منتشر در وضوح  $4\text{ cm}^{-1}$  اسکن شد (۲۰).

۳: **آزمون پتانسیل زتا:** پتانسیل زتا سوسپانسیون‌های آبی نانوذرات نقره بیوسنتز شده با قرار دادن ۲ میلی‌لیتر از نمونه‌ها در یک کووت پلاستیکی شفاف چهار وجهی در

۴: ارزیابی حساسیت پاتوژن‌های منتخب به نانوذرات نقره: مقایسه نانوذرات پوشش‌دار و بدون پوشش با روش انتشار دیسک: ارزیابی ویژگی‌های ضد میکروبی با روش انتشار دیسک بر طبق روش نوروزی و همکاران انجام گرفت (۲۳). این روش بر دیدن هاله بدون رشد در پیرامون دیسک‌های دارای خاصیت ضد میکروبی استوار است. در این پژوهش سویه‌های باکتریایی *Pseudomonas*، *Yersinia*، *Edwardsiella* و *Escherichia coli* سنجش شدند. سویه‌های خالص میکروبی به گونه لیوفیلیز شده، بسترهای کشت آماده مولر هینتون آگار، TSB و هم‌چنین محلول استاندارد نیم مک فارلند از شرکت زیست رویش خریداری شدند. دیسک‌های آنتی‌بیوتیک و دیسک‌های خام نیز از شرکت پادتن طب فراهم شدند. سویه‌های لیوفیلیزه بر پایه آیین‌نامه شرکت زیست رویش برای بازیابی شدن در بسترهای کشت مایع TSB نهاده شده و برای ۲۴ ساعت در انکوباتور ۳۵ °C جای گرفتند. پس از گذشت ۲۴ ساعت با استفاده لوپ از TSB دارای سویه‌های بازیابی شده بر روی بسترهای کشت‌های بلاد آگار کشت شده و برای ۲۴ ساعت در انکوباتور ۳۵ °C جای گرفتند. تعداد اندکی از کلنی‌های ناب از پلیت‌های آگار خوندار برداشت شده و در لوله‌های تمیز و سترون سرم فیزیولوژیک پراکنده شدند. تیرگی این محلول‌های دارای باکتری‌های ناب با استاندارد نیم مک فارلند سنجش و با آن برابر شدند. پس از آماده شدن محلول‌های باکتریایی با غلظت نیم مک فارلند با سوآپ‌های استریل از محلول نیم مک فارلند برداشت شده و به گونه کشت چمنی بر روی بسترهای مولر هینتون آگار کشت داده شدند. بر روی هر پلیت مورد آزمون در کنار شعله با استفاده از پنس استریل، ۳ دیسک جایگذاری شد. یک دیسک آنتی‌بیوتیک به عنوان شاهد مثبت، یک دیسک آغشته شده به نانوذره و یک دیسک برای کنترل منفی و بدون نانوذره بود. برای ارزیابی نانوذرات سنتز شده از دیسک دارای عصاره بدون نانوذرات نقره برای کنترل منفی بهره‌گیری شد. دیسک‌های سیپروفلوکساسین ۵ میکروگرم برای آزمون با سویه‌های

*Pseudomonas*، *E. coli* و دیسک آمپی‌سیلین ۱۰ میکروگرم برای آزمون با سویه‌های *Yersinia* و *Edwardsiella* به‌کار رفتند.

۵: جذب UV-vis: برای تایید ممانعت رشد باکتری‌ها، تراکم نوری (OD) در محیط مایع لوله‌های MIC با استفاده از اسپکتروفتومتری UV-vis در ۶۰۰ نانومتر (در غلظت ۰ تا ۲۰۰ - ppm) سنجیده شد. جذب کمتر، رشد کمتر باکتری‌ها را نشان داد. نمونه شاهد در این آزمایش همان نمونه شاهد آزمایش MIC بود. اثرات آنتی‌باکتریال هر دز از نانوذرات سنتز شده به‌صورت درصد ممانعت‌کنندگی (%) رشد باکتری بر طبق معادله زیر تعیین گزارش شد (۲۴).

$$P(GI\%) = 1 - OD \text{ sample} / OD \text{ control} \times 100$$

$$\text{Growth Inhibit Percentage (GI\%)} = 1 - \frac{OD \text{ sample}}{OD \text{ blank}} \times 100$$

۶: بررسی فعالیت ضد قارچی نانوذرات نقره پوشش‌دار: توانایی فعالیت ضد قارچی نانوذرات پوشش‌دار شده در ممانعت از رشد دو سویه قارچ از خانواده اوومیسیت‌ها (*Aphanomyces invadans*) و (*Saprolegnia parasitica*) بررسی شد. برای این منظور، ابتدا *Aphanomyces invadans* روی محیط کشت پیتون گلوکز حاوی آگار برای در دمای ۲۶ °C به مدت ۵ روز و *Saprolegnia parasitica* روی محیط کشت مخمر گلوکز در دمای ۲۱ °C به مدت ۲ گرمخانه گذاری شدند. اثرات ممانعت‌کنندگی از رشد غلظت‌های ۱ تا ۱۰ میلی‌گرم/میلی‌لیتر نانوذره پوشش‌دار شده و فاقد سنجیده شدند. برای این منظور، از پلیت‌های ۲۴ چاهکی استفاده گردید. ۱ میلی‌لیتر از محیط کشت‌ها درون هر چاهک ریخته شد سپس یک تکه کوچک ۱ میلی‌متری از میسلیوم‌های در حال رشد از هر قارچ درون هر چاهک قرار داده شد. سپس همه پلیت‌ها گرمخانه گذاری شدند. کمترین غلظت که سبب مهار ۹۰٪ رشد میسلیوم‌ها شد، برای هر سویه قارچی به عنوان MIC در نظر گرفته و گزارش شد (۲۵).

### تجزیه و تحلیل آماری

آنالیزهای آماری داده‌های حاصل از هر آزمایش با نرم‌افزار SPSS version 16 انجام شد. تمام داده‌ها حاصل از نتایج سه

تکرار بود. تفاوت معنی‌دار بین عوامل اندازه‌گیری شده با آنالیز واریانس یک طرفه با حدود اطمینان ۹۵٪ و مقایسه میانگین‌ها با آزمون توکی انجام گردید و نتایج مربوط به مقایسه‌ها به صورت نمودار با نرم‌افزار Excel رسم شد.

## نتایج

**نتایج طیف‌سنجی نانو ذرات تولید شده به سه روش مختلف:** بررسی طیف‌سنجی نانو ذرات تهیه شده به روش بیومس در سه غلظت مختلف نیترات نقره (۱، ۲ و ۳ mM) در (شکل ۴ a) نشان داده شده است. به ترتیب  $\lambda_{max}$  نانو ذرات نقره در طول موج ۴۳۴ nm، ۴۲۵ nm و ۴۲۰ nm مشاهده شد. طی بررسی طیف‌سنجی ( $\lambda_{max}$ ) نانو ذرات تهیه شده به روش جوشاندن (شکل ۴ b) در طول موج ۴۲۸ nm مشاهده شد. بررسی طیف سنجی ( $\lambda_{max}$ ) نانو ذرات تهیه شده به کمک پلی‌ساکارید عصاره (شکل ۴ c) در زمان‌های ۰، ۱۲، ۲۴، ۴۸ و ۷۲ ساعت به ترتیب  $\lambda_{max}$  نانو ذرات نقره در طول موج ۴۳۴ nm، ۴۳۳ nm، ۴۳۳ nm مشاهده شد در ۰ و ۱۲ ساعت پیک نمودار  $\lambda_{max}$  مشاهده نشد.

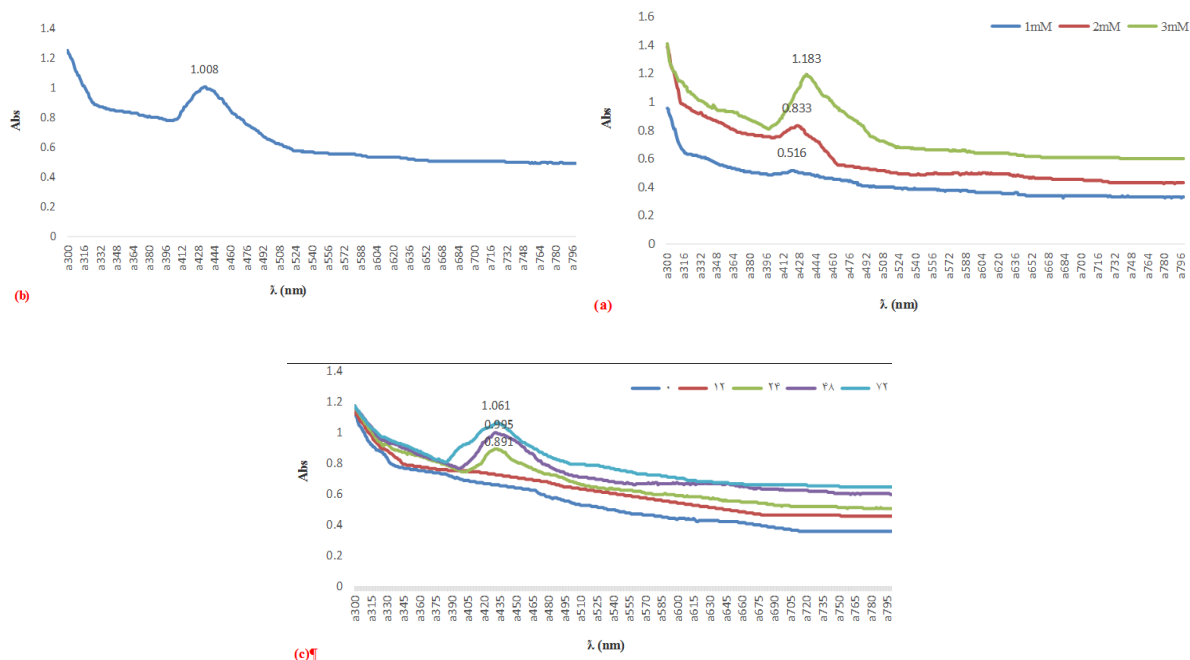
**نتایج آزمون FTIR:** نتایج طیف‌سنجی FTIR نانو ذرات نقره سنتز شده به سه روش مختلف در شکل ۵ (به ترتیب (a) طیف‌سنجی نانو ذرات تولید شده به روش بیومس تر، (b) به روش جوشاندن، (c) با استفاده از پلی‌ساکاریدهای خارج

گروه‌های عاملی و اتم‌های تشکیل دهنده هر طیف است. هر سه طیف بریکدیگر منطبق هستند که نشان دهنده تساوی در میزان تخلیص آن‌ها و تولید ترکیبات مشابه است. تفاوت اندکی در شدت پیک وجود دارد که به دلیل تفاوت در تعداد گروه‌های عاملی و اتم‌های تشکیل دهنده هر طیف است.

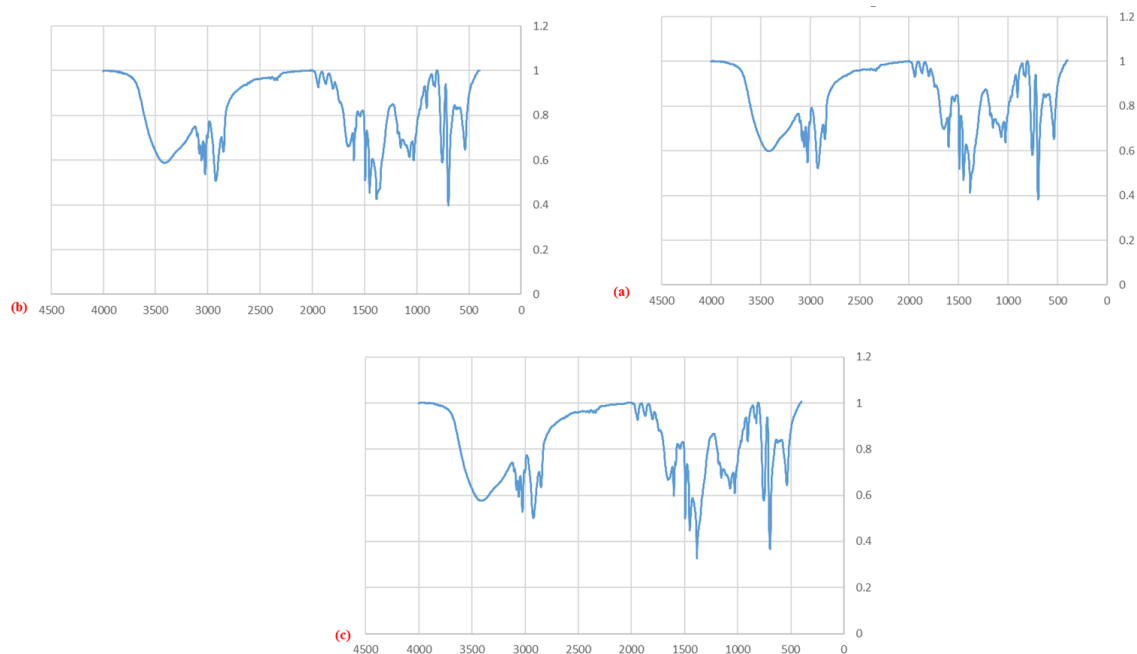
**نتایج آزمون پتانسیل زتا:** نتایج دیاگرام پتانسیل زتا نانو ذرات تولید شده (شکل ۶) نشان داد پتانسیل زتا نانو ذرات تولید شده به روش بیومس تر (شکل ۶ a) برابر  $24/7 \text{ mV}$  بود و ذرات تحرک الکتروفوریتیک برابر با  $0/000192 \text{ cm}^2/\text{Vs}$  داشتند. بررسی اندازه ذرات به دست آمده (شکل ۶ b)، میانگین اندازه ذرات نانو نقره  $115/4 \pm 0/75 \text{ nm}$  به دست آمد. پتانسیل زتا نانو ذرات تولید شده به روش جوشاندن (شکل ۶ c) برابر  $27/5 \text{ mV}$  بود و ذرات تحرک الکتروفوریتیک برابر با  $0/000199 \text{ cm}^2/\text{Vs}$  داشتند. بررسی اندازه ذرات به دست آمده (شکل ۶ d)، میانگین اندازه ذرات نانو نقره  $160/0 \pm 0/687 \text{ nm}$  به دست آمد. پتانسیل زتا نانو ذرات تولید شده با کمک پلی‌ساکاریدهای خارج سلولی (شکل ۶ e) برابر  $22/5 \text{ mV}$  بود و ذرات تحرک الکتروفوریتیک برابر با  $0/000175 \text{ cm}^2/\text{Vs}$  داشتند. بررسی اندازه ذرات به دست آمده (شکل ۶ f)، میانگین اندازه ذرات نانو نقره  $238/9 \pm 0/612 \text{ nm}$  به دست آمد.

جدول ۱: پیک‌های متناظر با گروه‌های عاملی تغییر در گروه‌های عاملی نانو ذرات تولید شده به روش‌های مختلف

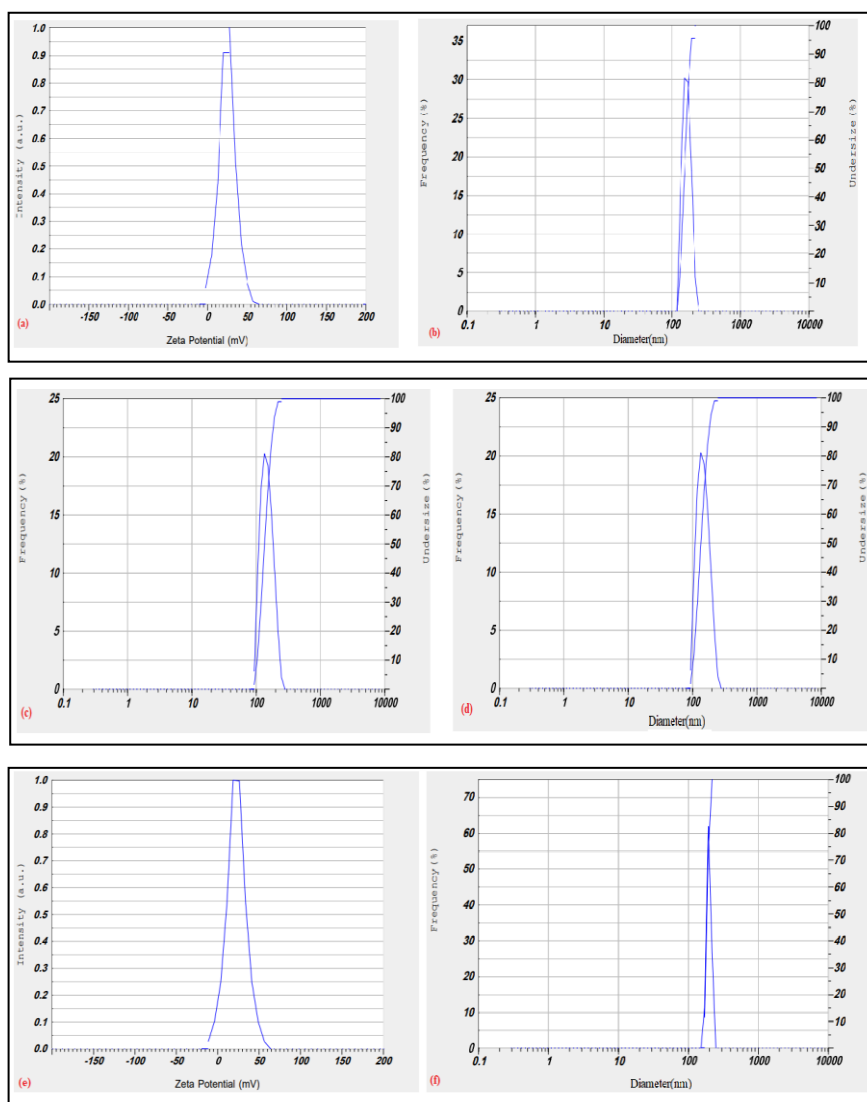
پیک‌های متناظر با گروه‌های عاملی	بیومس تر	روش جوشاندن	با استفاده از پلی‌ساکاریدهای خارج سلولی
پیوندهای آلکینی	۳۰۲۸/۰۴۷	۳۰۲۸/۰۴۷	۳۰۲۸/۰۴۷
پیوندهای OH	۲۸۴۸/۶۷۹	۲۸۴۸/۶۷۹	۲۸۴۸/۶۷۹
پیوند ارتعاشی O-H	۳۰۶۰/۸۳۵	۳۰۴۵/۴۰۶	۳۰۶۲/۷۶۴
پیوند N-H	۱۵۹۸/۸۸۶	۱۵۹۸/۸۸۶	۱۵۹۸/۸۸۶
آمید I، II و III	۱۴۹۲/۸۰۸	۱۴۹۲/۸۰۸	۱۴۹۲/۸۰۸
پیوند ارتعاشی آمین آروماتیک	۱۳۸۴/۸۰۱	۱۳۸۴/۸۰۱	۱۳۸۴/۸۰۱
پیوند ارتعاشی C-N	۱۱۵۳/۳۵۸	۱۰۲۷/۹۹۲	۱۰۲۲/۲۰۷
پیوند C-C	۷۸۱/۱۲۰۵	۷۸۱/۱۲۰۵	۷۸۱/۱۲۰۵
پیوند C-O	۷۵۶/۰۴۷۵	۷۵۶/۰۴۷۵	۷۵۶/۰۴۷۵
پیوند الکل اولیه C-O	۵۳۸/۱۰۵۲	۵۳۸/۱۰۵۲	۵۳۸/۱۰۵۲
پیوند ارتعاشات کششی C-O	۶۹۶/۲۵۸	۶۹۶/۲۵۸	۶۹۶/۲۵۸



شکل ۴: نتایج طیف‌سنجی UV-Vis نانوذرات نقره سنتز شده به سه روش مختلف (a) طیف‌سنجی نانوذرات تولید شده به روش بیومس تر، (b) به روش جوشاندن، (c) با استفاده از پلی‌ساکاریدهای خارج سلولی



شکل ۵: نتایج طیف‌سنجی FTIR نانوذرات نقره سنتز شده به سه روش مختلف (a) طیف‌سنجی نانوذرات تولید شده به روش بیومس تر، (b) به روش جوشاندن، (c) با استفاده از پلی‌ساکاریدهای خارج سلولی



شکل ۶: نتایج دیگرام پتانسیل زتا نانوذرات نقره سنتز شده به سه روش مختلف (a-b) طیف سنجی نانوذرات تولید شده به روش بیومس تر، (c-d) به روش جوشاندن، (e-f)، با استفاده از پلی ساکاریدهای خارج سلولی

**نتایج آزمون TEM:** میکروگراف نانوذرات نقره سنتز شده به روش جوشاندن در شکل ۸ نشان داده شده است. استفاده از این تکنیک کروی بودن نانوذرات سنتز شده را تأیید کرد. نتایج نشان دهنده این بود که نانوذرات حالت آگلومره داشتند.

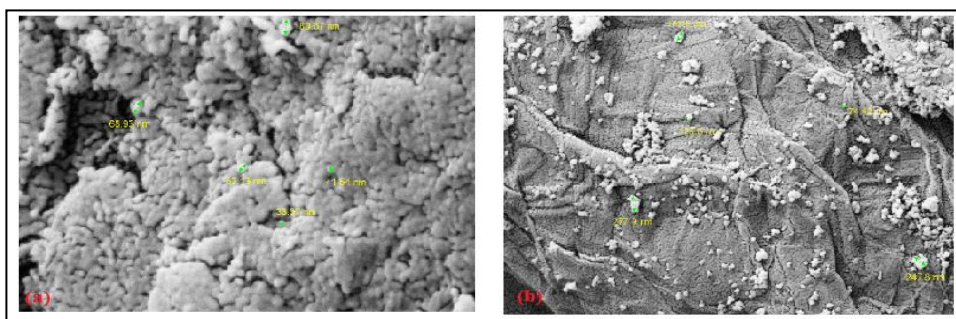
#### نتایج آزمون میکروبی

بررسی قطر عدم هاله رشد نانوذرات تهیه شده بر روی باکتری‌های پاتوژن ماهی مورد بررسی: بررسی میزان قطر عدم هاله رشد نانوذرات تهیه شده با روش بیومس تر در سه غلظت مختلف نیترات نقره (۱، ۲ و ۳ mM)، جوشاندن و با استفاده از

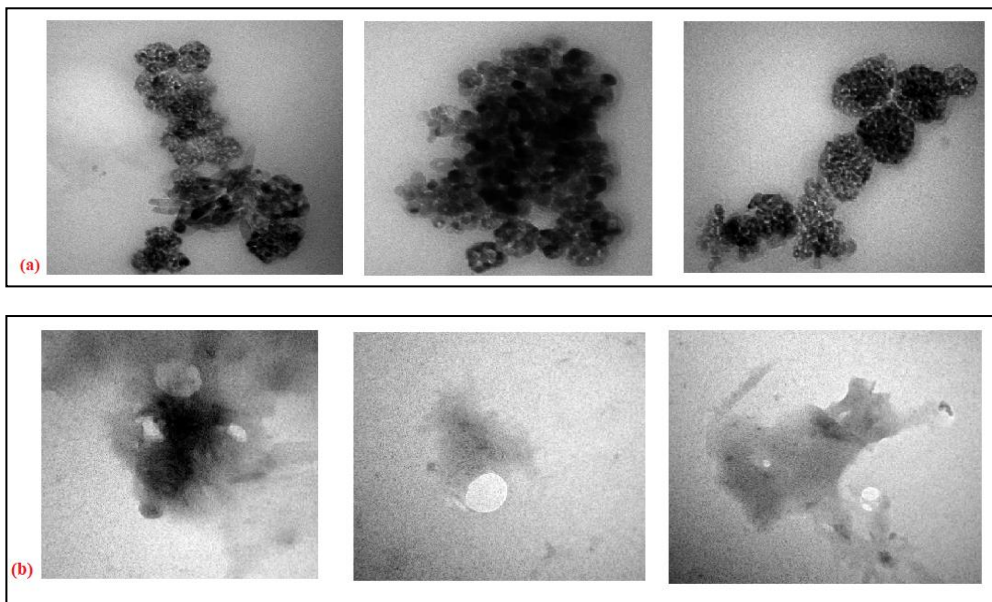
**نتایج آزمون SEM:** نتایج عکس SEM نانوذرات بدون پوشش و پوشش‌دهی شده با آلجینات بیوسنتز شده به روش جوشاندن در شکل ۷ نشان داده شده است. در (شکل ۷ a) مورفولوژی نانوذرات سنتز شده بدون پوشش نشان داده شده است. نتایج نشان داد نانوذرات سنتز شده به صورت کروی بوده و اندازه ذراتی ۳۳/۵۷ تا ۸۰/۶۷ داشتند. بررسی مورفولوژی نانوذرات پوشش داده شده با آلجینات (شکل ۷ b) نیز نشان داد نانوذرات نقره -آلژینات عمدتاً یک شکل نامنظم کروی و با تغییرات اندازه بین ۷۴/۴۳ تا ۲۷۷/۹ داشتند.

دنبال آن در غلظت ۲ و ۱ mM مشاهده شد. ( $P < 0.05$ ). برای باکتری *Edwardsiella* بیشترین میزان مهار بازدارنگی توسط نانوذرات تهیه شده به روش بیومس تر در غلظت ۳ mM و به دنبال آن در غلظت ۲ mM مشاهده شد ( $P < 0.05$ ). در سایر روش‌های سنتز نانو ذرات تأثیر معناداری گزارش نشد ( $P > 0.05$ ). بر روی باکتری *Pseudomonas aeruginosa* مطابق با نتایج روش‌های مختلف سنتز نانو ذرات تأثیر معناداری بر قطر عدم هاله رشد نداشت ( $P > 0.05$ ). تمامی نانوذرات به یک میزان حساسیت رشد نشان دادند.

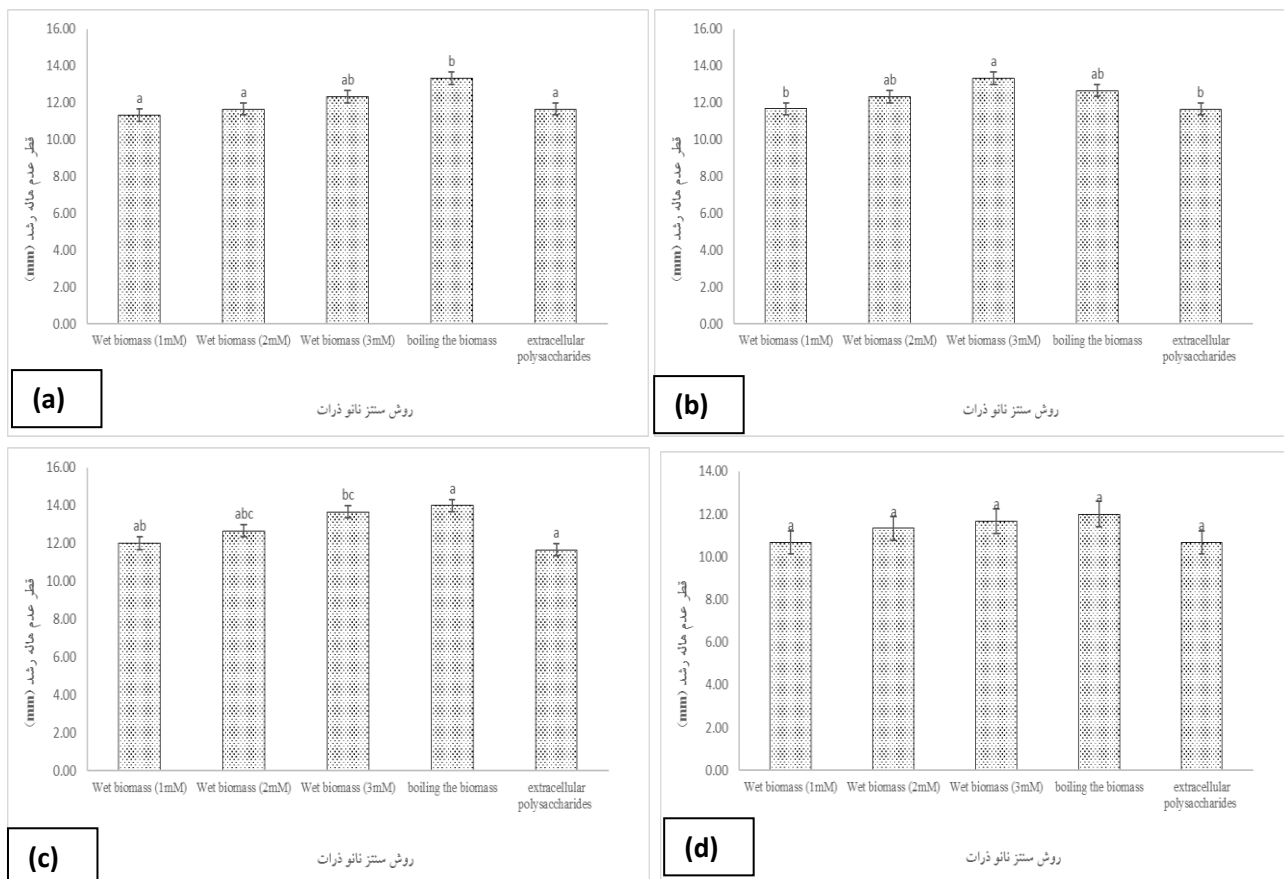
پلی ساکاریدهای خارج سلولی در جدول ۲ بر روی باکتری‌های *Yersinia enterocolitica*، *Pseudomonas aeruginosa* و *Edwardsiella coli* نشان داده شده است. مطابق با نتایج روش‌های مختلف سنتز نانو ذرات مورد بررسی بر قطر عدم هاله رشد تأثیر معنی‌داری داشت ( $P < 0.05$ ). بیشترین میزان مهار بازدارنگی توسط نانو ذرات تهیه شده به روش جوشاندن برای باکتری‌های *Yersinia enterocolitica* و *Escherichia coli* بود سپس بیشترین مهارکنندگی در نانوذرات تهیه شده به روش بیومس تر در غلظت ۳ mM و به



شکل ۷: عکس‌های SEM نانوذرات (a) بدون پوشش (b) پوشش دار شده با آلجینات



شکل ۸: میکروگراف الکترون عبوری (TEM) نانوذرات (a) بدون پوشش (b) پوشش دار شده با آلجینات



شکل ۹: نمودار میانگین نتایج قطر عدم هاله رشد نانو ذرات تهیه شده برحسب (mm) بر روی باکتری های (a) *Escherichia coli* (b)

(c) *Edwardsiella* (d) *Yersinia enterocolitica* (b) *Pseudomonas aeruginosa*

جدول ۲: میانگین نتایج قطر عدم هاله رشد نانو ذرات تهیه شده (برحسب mm) بر روی پاتوزن های ماهی

قطر عدم هاله رشد (mm) باکتری <i>Escherichia coli</i>	قطر عدم هاله رشد (mm) باکتری <i>Edwardsiella</i>	قطر عدم هاله رشد (mm) باکتری <i>Yersinia enterocolitica</i>	قطر عدم هاله رشد (mm) باکتری <i>Pseudomonas aeruginosa</i>	روش های تهیه نانو ذرات
11/33 ± 0/58 <sup>a</sup>	11/67 ± 0/58 <sup>b</sup>	12/00 ± 0/00 <sup>ab</sup>	10/67 ± 0/33 <sup>a</sup>	روش بیومس تر (1 Mm)
11/67 ± 0/58 <sup>a</sup>	12/33 ± 0/58 <sup>ab</sup>	12/33 ± 0/58 <sup>abc</sup>	11/33 ± 0/33 <sup>a</sup>	روش بیومس تر (2 Mm)
12/33 ± 0/58 <sup>ab</sup>	13/33 ± 0/58 <sup>a</sup>	13/67 ± 0/58 <sup>bc</sup>	11/67 ± 0/33 <sup>a</sup>	روش بیومس تر (3 Mm)
13/33 ± 0/58 <sup>b</sup>	12/67 ± 0/58 <sup>ab</sup>	14/00 ± 1/00 <sup>a</sup>	12/00 ± 0/00 <sup>a</sup>	روش جوشاندن
11/67 ± 0/58 <sup>a</sup>	11/67 ± 0/58 <sup>b</sup>	11/67 ± 0/58 <sup>c</sup>	10/67 ± 0/33 <sup>a</sup>	با استفاده از پلی ساکارید خارج سلولی

\*حروف کوچک متفاوت نشان دهنده تفاوت معنادار در سطح 0/05 است.



نتایج خاصیت ضد قارچی نانوذرات سنتز شده (قطر عدم هاله رشد)

نتایج خاصیت ضد قارچی بر روی قارچ‌های *Saprolegnia* و *Aphanomyces*: جدول ۶ بررسی نتایج خاصیت ضد قارچی نانوذرات سنتز شده به روش‌های مختلف را روی قارچ‌های *Saprolegnia* و *Aphanomyces* را نشان می‌دهد. مطابق نتایج روش‌های مختلف سنتز تأثیر معنادار بر خاصیت ضد قارچی داشت ( $P < 0.05$ ). نانو ذرات سنتز شده در غلظت بالاتر نیترا نقره خاصیت ضد قارچی بالاتری داشتند

پوشش دار کردن نانوذرات با آلجینات نیز به‌طور قابل توجه‌ای خاصیت ضد قارچی را افزایش داد ( $P < 0.05$ ). در مقایسه روش‌های مختلف تهیه نانوذرات، نانوذرات نقره سنتز شده به روش جوشاندن و به دنبال آن نانوذرات سنتز شده با روش بیومس تر در غلظت ۳ mM بالاترین خاصیت ضد قارچی را نشان دادند ( $P < 0.05$ ). کمترین میزان فعالیت ضد قارچی در نانو ذرات سنتز شده به روش بیومس تر در غلظت ۱ mM گزارش شد ( $P < 0.05$ ).

جدول ۳: میانگین نتایج MIC نانو ذرات تهیه شده (برحسب mg/ml) بر روی پاتوژن‌های ماهی

MIC (mg/ml) <i>Escherichia coli</i>	MIC (mg/ml) <i>Edwardsiella</i>	MIC (mg/ml) <i>Yersinia enterocolitica</i>	MIC (mg/ml) <i>Pseudomonas aeruginosa</i>	روش‌های تهیه نانو ذرات
۶/۶۷ ± ۱/۶۷ <sup>a</sup>	۱۳/۳۳ ± ۳/۳۳ <sup>a</sup>	۶/۶۷ ± ۱/۶۷ <sup>a</sup>	۱۶/۶۷ ± ۳/۳۳ <sup>a</sup>	روش بیومس تر (۱ Mm)
۵/۰۰ ± ۰/۰۰ <sup>a</sup>	۱۰/۰۰ ± ۰/۰۰ <sup>a</sup>	۵/۰۰ ± ۰/۰۰ <sup>a</sup>	۱۳/۳۳ ± ۳/۳۳ <sup>a</sup>	روش بیومس تر (۲ Mm)
۵/۰۰ ± ۰/۰۰ <sup>a</sup>	۸/۳۳ ± ۱/۶۷ <sup>a</sup>	۴/۱۷ ± ۰/۸۳ <sup>a</sup>	۱۰/۰۰ ± ۰/۰۰ <sup>a</sup>	روش بیومس تر (۳ Mm)
۴/۱۷ ± ۰/۸۳ <sup>a</sup>	۶/۶۷ ± ۱/۶۷ <sup>a</sup>	۳/۳۳ ± ۰/۸۳ <sup>a</sup>	۶/۶۷ ± ۱/۶۷ <sup>a</sup>	روش جوشاندن

با استفاده از پلی‌ساکارید خارج سلولی  
\*حروف کوچک متفاوت نشان دهنده تفاوت معنادار در سطح ۰/۰۵ است

جدول ۴: میانگین نتایج MBC نانو ذرات تهیه شده (برحسب mg/ml) بر روی پاتوژن‌های ماهی

MBC (mg/ml) <i>Escherichia coli</i>	MIC (mg/ml) <i>Edwardsiella</i>	MBC (mg/ml) <i>Yersinia enterocolitica</i>	MBC (mg/ml) <i>Pseudomonas aeruginosa</i>	روش‌های تهیه نانو ذرات
۲/۰۸ ± ۰/۴۲ <sup>a</sup>	۳/۳۳ ± ۰/۸۳ <sup>ab</sup>	۰/۸۳ ± ۰/۲۱ <sup>a</sup>	۳/۳۳ ± ۰/۸۳ <sup>a</sup>	روش بیومس تر (۱ Mm)
۱/۶۷ ± ۰/۴۲ <sup>a</sup>	۱/۶۷ ± ۰/۴۲ <sup>ab</sup>	۰/۵۲ ± ۰/۱۰ <sup>a</sup>	۲/۰۸ ± ۰/۴۲ <sup>a</sup>	روش بیومس تر (۲ Mm)
۱/۰۴ ± ۰/۲۱ <sup>a</sup>	۱/۲۵ ± ۰/۰۰ <sup>b</sup>	۰/۳۶ ± ۰/۱۴ <sup>a</sup>	۲/۰۸ ± ۰/۴۲ <sup>a</sup>	روش بیومس تر (۳ Mm)
۰/۸۳ ± ۰/۲۱ <sup>a</sup>	۰/۸۳ ± ۰/۲۱ <sup>b</sup>	۰/۴۲ ± ۰/۱۰ <sup>a</sup>	۱/۰۴ ± ۰/۲۱ <sup>a</sup>	روش جوشاندن

با استفاده از پلی‌ساکارید خارج سلولی  
\*حروف کوچک متفاوت نشان دهنده تفاوت معنادار در سطح ۰/۰۵ است.

جدول ۵: نتایج درصد زنده‌مانی میکروارگانیسم‌ها در غلظت‌های مختلف نانو ذرات سنتز شده به روش جوشاندن

غلظت (ppm)	Viability (%)
۰/۰۰	۱۰۰/۰۰ ± ۰/۰۰ <sup>k</sup>
۰/۲۰	۱۰۰/۰۰ ± ۰/۰۰ <sup>k</sup>
۰/۳۹	۹۶/۶۰ ± ۰/۰۶ <sup>g</sup>
۰/۷۸	۹۴/۱۰ ± ۰/۰۹ <sup>i</sup>
۱/۵۶	۹۲/۶۷ ± ۰/۰۹ <sup>h</sup>
۳/۱۲	۸۴/۴۰ ± ۰/۰۶ <sup>g</sup>
۶/۲۵	۸۱/۴۷ ± ۰/۰۹ <sup>f</sup>
۱۲/۵۰	۷۶/۳۳ ± ۰/۲۳ <sup>e</sup>
۲۵	۷۲/۰۷ ± ۰/۱۳ <sup>d</sup>
۵۰	۶۰/۴۳ ± ۰/۰۳ <sup>c</sup>
۱۰۰	۴۸/۳۳ ± ۰/۱۲ <sup>b</sup>
۲۰۰	۳۸/۱۷ ± ۰/۰۹ <sup>a</sup>

\*حروف کوچک متفاوت نشان دهنده تفاوت معنادار در سطح ۰/۰۵ است

جدول ۶: میانگین نتایج فعالیت ضد قارچی نانو ذرات سنتز شده (بر حسب mm) بر روی قارچ‌ها

نوع نانو ذرات	قطر عدم هاله رشد (mm) <i>Saprolegnia</i>	قطر عدم هاله رشد (mm) <i>Aphanomyces</i>
بیومس تر	۱mM	۷/۶۶ ± ۰/۴۷ <sup>c</sup>
	2mM	۸/۳۳ ± ۰/۴۷ <sup>b</sup>
	3mM	۹/۰۰ ± ۰/۰۰ <sup>ab</sup>
جوشاندن	۹/۶۶ ± ۰/۴۷ <sup>a</sup>	۱۱/۶۶ ± ۰/۴۷ <sup>a</sup>
پلی ساکارید	۸/۳۳ ± ۰/۴۷ <sup>b</sup>	۱۰/۶۶ ± ۰/۴۷ <sup>b</sup>

\*حروف کوچک متفاوت نشان دهنده تفاوت معنادار در سطح ۰/۰۵ است.

شدت پیک تابعی از زمان آزمایش افزایش یافت. در زمان‌های ۰ و ۱۲ ساعت پیکی گزارش نشد. درحالی‌که در در زمان‌های ۲۴، ۴۸ و ۷۲ ساعت به ترتیب  $\lambda_{max}$  نانو ذرات نقره در طول موج ۴۳۴ nm، ۴۳۳ nm، ۴۳۳ nm مشاهده شد. گزارش شده است که طیف جذب نانو ذرات حداکثر ارتفاع پیک بین ۴۲۰ تا ۴۵۰ را همراه با جابجایی آبی یا قرمز با افزایش اندازه ذرات دارد (۲۷). پیشنهاد می‌شود که اگزوپلی ساکاریدها نقش کاهش‌دهنده و تثبیت‌کننده را ایفا کنند، زیرا این پلیمرهای پیچیده هم‌چنین می‌توانند حاوی بخش‌های آمینو قند استیله شده و هم‌چنین ترکیبات غیر کربوهیدراتی مانند فسفات،

## بحث

نتایج مشخصه‌یابی نانو ذرات تهیه شده به روش بیومس تر (شکل ۴ a) در سه غلظت مختلف نیترات نقره (۱، ۲ و ۳ mM)  $\lambda_{max}$  نانو ذرات نقره در طول موج ۴۲۰ تا ۴۳۴ مشاهده شد. که مربوط به جذب پلاسمون نانو ذرات نقره است که نشان می‌دهد که عصاره سیانوباکتریایی مسئول سنتز نانوذرات نقره است (۲۶). در سنتز نانوذرات نقره به روش جوشاندن نیز یک پیک در طول موج ۴۲۸ nm مشاهده شد که تأیید تشکیل نانوذرات نقره است. طی بررسی مشخصه‌یابی نانوذرات با کمک پلی‌ساکاریدهای خارج سلولی مشاهده شد

سایر روش‌ها به دلیل گروه عاملی اکترون‌گاتیو آلجینات مورد استفاده در پایداری نانوذرات نقره است (۳۳). بررسی اندازه ذرات به‌دست آمده نشان داد کمترین به بیشترین اندازه در نانوذرات سنتز شده به روش بیومس تر < جوشاندن > با کمک پلی‌ساکارید خارج سلولی بود که به ترتیب اندازه‌ای برابر با ۱۱۵/۴، ۱۶۰ و ۲۳۸/۹ داشتند. Casals و همکاران (۲۰۱۰) طی بررسی پوشش‌دهی نانو ذرات طلا با پروتئین نتایج مطابق با این مطالعه را نشان دادند. هم‌چنین Faried و همکاران (۲۰۱۷)، طی بررسی تولید نانوذرات نقره و بررسی افزایش پایداری آن با آلجینات نشان دادند نانوذرات تولید شده پایداری بالایی داشتند (۳۴). در مقایسه بین نتایج SEM نانو ذرات بدون پوشش و پوشش‌دار تجمع کم‌تر نانو ذرات نقره پوشش داده شده با آلجینات مشاهده شد. با این تفاوت که شکل نانوذرات اندکی خشن‌تر بود که می‌تواند تأیید کننده برهمکنش نانوذرات با ماتریس آلجینات باشد. Yalçın و همکاران (۲۰۲۲) نیز نشان دادند نانوذرات سنتز شده به روش سبز با استفاده از عصاره سیانوباکتر *Oscillatoria princeps* اندازه ذرات برابر با ۳۸ nm و تقریباً کروی و بصورت آگلومره گزارش کردند. Kuraganti و همکاران نیز طی سنتز نانوذرات نقره از عصاره *Characium typicum* نشان دادند و اندازه نانوذرات سنتز شده را بین ۲۲ تا ۳۴ nm و به شکل بیضی گزارش کردند (۳۵، ۳۶). TEM روش ارجح برای اندازه‌گیری مستقیم اندازه نانوذرات، اندازه دانه، توزیع اندازه و مورفولوژی است. میکروگراف‌های به‌دست آمده از TEM کروی بودن نانوذرات سنتز شده و تجمع آن‌ها را تأیید کرد. این تجمع نانوذرات سنتز شده از عصاره سیانوباکتری‌ها توسط مطالعات مختلف گزارش شده است (۳۷). Hanna و همکاران نیز شکل کروی نانوذرات نقره سنتز شده از عصاره سیانوباکتر *Phormidium ambiguum* و *Desertifilum tharense* را با TEM نشان دادند (۳۸). در این مطالعه، فعالیت ضد باکتری نانوذرات نقره بر روی میکروارگانیسم پاتوژن‌زای ماهی شامل (*Edwardsiella*، *Yersinia*، *Pseudomonas*) و *Escherichia coli* مورد ارزیابی قرار گرفت. مطابق با نتایج

لاکتات، استات و گلیسرول باشند (۲۸). تفاوت در پتانسیل سنتز نانوذرات سیانوباکتری‌ها ممکن است به دلیل تفاوت‌های کمی و کیفی در مواد پروتئینی در عصاره‌های سلولی باشد. از نتایج به‌دست آمده در این تحقیق می‌توان گفت نانوذرات به‌دست آمده کروی بودند و با افزایش زمان و غلظت عصاره اندازه بزرگ‌تری داشتند که مطابق با نتایج به‌دست آمده از مرفولوژی نانو ذرات (SEM) بود. هم‌راستا با نتایج، Tomer و همکاران طی بررسی سنتز سبز نانوذرات با عصاره سیانوباکتر *Haloleptolyngbya alcalis* نشان دادند پیک SPR نانو ذرات در محدوده ۴۰۰-۴۵۰ مشاهده شد و گزارش کردند تشخیص تک پیک در ۴۴۰ نانومتر با نانوذرات کروی شکل مطابقت دارد و ترکیبات زیست فعال موجود در عصاره را مسئول سنتز نانو ذرات گزارش کردند (۱۰). هم‌چنین، Sahoo و همکاران طی مشخصه‌یابی نانوذرات نقره از عصاره سیانوباکتر پیک تیز در محدوده ۴۲۰ nm را گزارش کردند. اظهار نمودند کاهش یون‌های Ag و تبدیل به Ag (0) به دلیل ترکیبات زیست فعال در سیانوباکتر طی ۴۸ تا ۵۶ ساعت عمل کرد (۲۹). Wei و همکاران نشان دادند افزایش نیترات نقره تا ۵۲ mM سبب افزایش باند SPR شد که نشان دهنده تشکیل بیشتر نانوذرات نقره بود (۲۹). داده‌های FTIR بر اساس مطالعات Supeng و همکاران، Mallikarjuna و همکاران (۲۰۱۱) هم‌چنین Kanipandian و همکاران (۲۰۱۴) آنالیز شدند. مطابق با نتایج، هر سه طیف بریکدیگر منطبق هستند که نشان‌دهنده تساوی در میزان تخلیص آن‌ها و تولید ترکیبات مشابه است. تفاوت اندکی در شدت پیک وجود دارد که به دلیل تفاوت در تعداد گروه‌های عاملی و اتم‌های تشکیل دهنده هر طیف است (۳۰) (۳۱) (۳۲). نتایج پتانسیل زتا نانو ذرات نقره تولید شده به روش‌های مختلف، تحرک و اندازه آن‌ها در شکل ۶ گزارش شده است. نتایج پتانسیل زتا در هر سه روش مثبت بود که نشان دهنده بار مثبت ذرات پراکنده در سوسپانسیون می‌باشد. طی مقایسه سه روش تولید نانو ذرات مشخص شد تولید نانو ذرات با کمک جوشاندن پایداری بالاتری (mV) (۲۷/۵) نسبت به سایر روش‌ها داشتند. کاهش پتانسیل زتا در

نانوذرات سنتز شده توسط سویه *Nostoc M5094-IBRC* بودند (۴۳). محققان اینگونه نتیجه‌گیری کردند که که نانوذرات  $Ag_3PO_4$  در خواص ضد باکتریایی بسیار مهم هستند. همچنین فعالیت باکتری‌کشی این دو نوع نانوذره را نشان داند و اظهار کردند غلظت MBC با غلظت MIC یکسان بود. *Karageorgou* و همکاران نیز نشان دادند نانوذرات نقره سنتز شده از عصاره سیانوباکتر *Pseudanabaena/Limnothrix sp* اثر آنتی‌باکتریایی در غلظت‌های پایین و در مدت زمان کوتاهی را علیه سلول‌های باکتریایی گرم مثبت و گرم منفی داشتند (۴۴). در تأیید خاصیت ضد میکروبی نانوذرات تهیه شده میزان تراکم نوری با استفاده از اسپکتوفتومتر اندازه‌گیری شد (۴۲). مطابق با نتایج ارائه شده در (جدول ۵) مرگ باکتری‌ها ارتباط مستقیمی با غلظت نیترات نقره، پوشش‌دهی نانو ذرات و روش سنتز نانو ذرات دارد. فعالیت ضد قارچی نانوذرات نقره ناشی از تشکیل ترکیبات نامحلول با گروه‌های سولفیدریل در دیواره سلولی قارچ‌ها و اختلال در آنزیم‌ها و لیپیدهای متصل به غشاء است که باعث لیز سلولی می‌شود. آسیب به دیواره سلولی و غشاء منجر به افزایش نفوذپذیری غشا و آزاد شدن یون‌های پتاسیم ( $K^+$ ) می‌شود. علاوه بر این، نانوذرات نقره فرآیندهای سلولی را که در جوانه زدن مخمر نقش دارند، احتمالاً از طریق اختلال در یکپارچگی غشاء مهار می‌کنند. میکروسکوپ الکترونی عبوری برهمکنش بین نانوذرات نقره و ساختار غشا را تایید می‌کند (۴۵). *Hamida* و همکاران طی بررسی خاصیت ضد قارچی نانوذرات نقره از دو عصاره سیانو باکتری *Nostoc Bahar\_M* و *Desertifilum sp* نشان دادند نانوذرات تهیه شده از سویه *Desertifilum sp* خاصیت ضد قارچی بالاتری را نشان دادند و علت آن را به الگوهای متفاوت رابط نانو/سلول ناشی از تفاوت در گروه‌های عاملی احاطه کننده نانوذرات نقره، که از سویه‌های سیانوباکتری مختلف مشتق شده‌اند، نسبت دادند (۴۶). *Elkomy* و همکاران طی بررسی خاصیت آنتی‌باکتریال نانو ذرات تهیه شده از عصاره سیانوباکتری *Phormidium formosum* نشان دادند نانوذرات سنتز شده فعالیت ضد باکتریایی و ضد قارچی

افزایش غلظت نیترات نقره برای سنتز نانوذرات سبب افزایش حساسیت باکتری‌ها شد. مطابق با نتایج بالاترین حساسیت در باکتری *Yersinia enterocolitica* گزارش شد. در روش‌های مورد بررسی بالاترین عدم هاله رشد در نانو ذرات سنتز شده به روش جوشاندن و پوشش‌داده شده با آلجینات مشاهده شد (۳۹). نتایج مشابه در بررسی میزان MIC و MBC نانوذرات گزارش شد. در تمامی آزمایشات مورد بررسی تأثیر مثبت پوشش‌دهی و روش جوشاندن برای سنتز نانوذرات در خاصیت ضد میکروبی نانوذرات را نشان داد (۳۴). در رابطه با استفاده از پوشش برای پایداری نانوذرات، اینگونه می‌توان گفت، عوامل پوشاننده به عنوان تثبیت کننده مانع از رشد بیش از حد نانوذرات می‌شوند و از تجمع/انعقاد آن‌ها در سنتز کلونیدی جلوگیری می‌کنند که بسیار مهم است. همچنین، لیگاندهای پوشاننده سطح مشترک را که در آن نانوذرات با محیط آماده‌سازی خود برهمکنش می‌کنند، را تثبیت می‌کنند (۴۰). *El-Naggar* و همکاران، در رابطه با فعالیت ضد میکروبی نانوذرات نقره تهیه شده از عصاره فیکوبیلی پروتئینی سیانوباکتر اعلام کردند وجود مولکول‌های زیستی فیکوبیلی پروتئین ممکن است توانایی لنگر انداختن نانوذرات پوشش‌داده شده بر روی غشای سلولی باکتری‌ها را ارائه دهد و آن‌ها را قادر می‌سازد تا به فعالیت ضدباکتریایی دست یابند (۲۶). *Seku* و همکاران، طی بررسی سنتز سبز نانوذرات نقره با پوشش صمغ کندر گوگو کربوکسی متیله نشان دادند اثر ضد باکتریایی راروی باکتری *Escherichia coli*، *Bacillus subtilis* و *Bacillus cereus* نشان دادند (۴۱). *Hamida* و همکاران طی بررسی خاصیت ضد باکتری نانوذرات نقره سنتز شده از عصاره سیانوباکتری *Desertifilum sp* در برابر ۵ باکتری (*Bacillus cereus*، *Pseudomonas aeruginosa*، *Shigella flexneri*، *Salmonella enterica* و *Bacillus subtilis*) نشان دادند (۴۲). *Aletayeb* و همکاران طی بررسی خواص ضد میکروبی نانوذرات نقره  $AgCl/AgPO_4$  از دو سویه متفاوت سیانوباکتر *Nostoc* نشان دادند نانوذرات ساخته شده توسط سویه *Nostoc pruniforme* در مهار رشد باکتری موثرتر از

*Dulcicalothrix alborzica* می‌توانند به عنوان یک جایگزین بالقوه برای آنتی‌بیوتیک‌های سنتی در درمان عفونت‌های باکتریایی در ماهیان استفاده شوند. این نانوذرات دارای مزایایی مانند طیف وسیع فعالیت ضد میکروبی، بی‌سمیت بودن برای سلول‌های ماهی و قابلیت تولید به روش ساده و کم‌هزینه هستند. پیشنهاد می‌شود در تحقیقات آینده، سایر عوامل پوشش دهنده جهت تکمیل بانک اطلاعاتی و بررسی خواص آنتی‌باکتریال و آنتی-فانگال نانوذرات نقره سنتز شده در این مقاله بر روی عوامل پاتوژن‌زای انسانی بررسی شوند. همچنین سنتز نانوذرات نقره از دیگر سویه‌های سیانوباکتر در مقایسه با عملکرد این مطالعه بررسی شود. در مجموع، نتایج این مطالعه نشان می‌دهد که نانوذرات نقره پوشش‌دار شده با آلجینات بیوسنتز شده توسط *Dulcicalothrix alborzica* دارای پتانسیل قوی برای استفاده به عنوان یک عامل ضد میکروبی در صنعت آبی‌پروری هستند.

### سپاس‌گزاری

نتایج موجود در این مقاله مستخرج از پایان‌نامه می‌باشد، به این وسیله از کلیه افراد تشکر و قدردانی می‌شود.

حامی مالی: ندارد

تعارض در منافع: وجود ندارد.

### ملاحظات اخلاقی

پروپوزال این تحقیق توسط دانشگاه آزاد واحد علوم و تحقیقات تایید شده است (کد اخلاق: IR.IAU.B.REC.1401.030).

### مشارکت نویسندگان

دکتر بهاره نوروزی در ارائه ایده و در طراحی مطالعه، حسن بیرانوند در جمع‌آوری داده‌ها و دکتر بهاره نوروزی در تجزیه و تحلیل داده‌ها مشارکت داشته و همه نویسندگان در تدوین، ویرایش اولیه و نهایی مقاله و پاسخگویی به سوالات مرتبط با مقاله سهیم هستند.

در برابر طیف وسیعی از باکتری‌های بیماری‌زا داشتند (۴۷). در این مطالعه، فقط از یک نوع سیانوباکتری (*Dulcicalothrix alborzica*) برای سنتز نانوذرات نقره استفاده شد. بررسی سنتز نانوذرات نقره با استفاده از سایر گونه‌های سیانوباکتری می‌تواند اطلاعات مفیدی در مورد تاثیر نوع زیستی سیانوباکتری‌ها بر خواص نانو ذرات نقره به دست دهد. همچنین اثر ضد میکروبی نانو ذرات نقره بر روی چهار نوع باکتری گرم منفی مورد بررسی قرار گرفت. بررسی اثر ضد میکروبی نانوذرات نقره بر روی سایر میکروارگانیسم‌ها مانند قارچ‌ها، ویروس‌ها و باکتری‌های گرم مثبت می‌تواند کاربردهای بالقوه این نانوذرات را گسترش دهد.

### نتیجه‌گیری

نتایج، نشان ویژه سازی نانوذرات نقره سنتز شده را در هر سه روش تأیید کرد. حضور تنها یک باند SPR در طیف جذب نشان‌دهنده سنتز نانو ذرات کروی بود. نتایج طیف‌سنجی FTIR به‌دست آمده نشان داد هر سه طیف بریکدیگر منطبق بودند که نشان‌دهنده تساوی در میزان تخلیص آن‌ها و تولید ترکیبات مشابه است. تفاوت اندکی در شدت پیک وجود دارد که به دلیل تفاوت در تعداد گروه‌های عاملی و اتم‌های تشکیل دهنده هر طیف است. پتانسیل زتا نانوذرات سنتز شده در هر سه روش مثبت بود که نشان‌دهنده بار مثبت ذرات پراکنده در سوسپانسیون می‌باشد. طی مقایسه سه روش تولید نانوذرات مشخص شد تولید نانوذرات با کمک جوشاندن پایداري بالاتری (۲۷/۵ mV) نسبت به سایر روش‌ها داشتند. همچنین نانو ذرات تهیه شده به روش بیومس تحرک بالاتری داشتند. بررسی مورفولوژی نانو ذرات SEM و TEM کروی بودن نانوذرات سنتز شده را تأیید کرد. همچنین تجمع کمتر نانوذرات نقره پوشش داده شده با آلژینات در بررسی SEM مشاهده شد. بررسی خاصیت آنتی‌باکتریال و آنتی‌فانگال نانوذرات بر روی پاتوژن‌های ماهی نشان دهنده فعالیت خوب ضد میکروبی نانوذرات سنتز شده به روش جوشاندن و پوشش‌دار شده با آلژینات نسبت به سایر روش‌ها بود. این مطالعه نشان می‌دهد که نانوذرات نقره پوشش‌دار شده با آلجینات بیوسنتز شده توسط

## References:

- 1-Nasr-Eldahan S, Nabil-Adam A, Shreadah MA, Maher AM, El-Sayed Ali T. *A Review Article on Nanotechnology in Aquaculture Sustainability as a Novel Tool in Fish Disease Control*. Aquaculture International 2021; 29: 1459-80.
- 2-Ameen F, Abdullah MM, Al-Homaidan AA, Al-Lohedan HA, Al-Ghanayem AA, Almansob A. *Fabrication of Silver Nanoparticles Employing the Cyanobacterium Spirulina Platensis and Its Bactericidal Effect Against Opportunistic Nosocomial Pathogens of The Respiratory Tract*. Journal of Molecular Structure 2020; 1217: 128392.
- 3-Younis NS, El Smary NA, Mohamed ME. *Silver Nanoparticles Green Synthesis Via Cyanobacterium Phormidium Sp.: Characterization, Wound Healing, Antioxidant, Antibacterial, and Anti-Inflammatory Activities*. Eur Rev Med Pharmacol Sci 2021; 25(7): 3083-96.
- 4-Qiu L, Zhang M, Bhandari B, Yang C. *Shelf-life extension of aquatic products by applying nanotechnology: A review*. Crit Rev Food Sci Nutr 2022; 62(6): 1521-35.
- 5-Muruganandam M, Chipps SR, Ojasvi PR. *On The Advanced Technologies to Enhance Fisheries Production and Management*. ASAG 2019; 3(8): 216-22.
- 6-Shah BR, Mraz J. *Advances in Nanotechnology for Sustainable Aquaculture and Fisheries*. Reviews in Aquaculture 2020; 12(2): 925-42.
- 7-Sarkar B, Mahanty A, Gupta SK, Choudhury AR, Daware A, Bhattacharjee S. *Nanotechnology: A Next-Generation Tool for Sustainable Aquaculture*. Aquaculture 2022; 546: 737330.
- 8-Nowruzi B, Hashemi N. *A Review on the Antimicrobial Effects of Nanoparticles and Atmospheric Cold Plasma Technology*. Journal of Isfahan Medical School 2023; 41(729): 631-42.
- 9-Tomer AK, Rahi T, Neelam DK, Dadheech PK. *Cyanobacterial Extract-Mediated Synthesis of Silver Nanoparticles and their Application in Ammonia Sensing*. International Microbiology 2019; 22: 49-58.
- 10-Javaid A, Oloketuyi SF, Khan MM, Khan F. *Diversity of Bacterial Synthesis of Silver Nanoparticles*. BioNanoScience 2018; 8: 43-59.
- 11-Aslam H, Shukrullah S, Naz MY, Fatima H, Hussain H, Ullah S, Assiri MA. *Current and Future Perspectives of Multifunctional Magnetic Nanoparticles Based Controlled Drug Delivery Systems*. Journal of Drug Delivery Science and Technology 2022; 67: 102946.
- 12-Nowruzi B, Beiranvand H. *A Review of Medical Applications of Cyanobacteria*. Journal of Isfahan Medical School 2024; 42(755): 69-83. [Persian]
- 13-Anvar SA, Nowruzi B, Afshari G. *A Review of The Application of Nanoparticles Biosynthesized by Microalgae and Cyanobacteria in Medical and Veterinary Sciences*. Iranian Journal of Veterinary Medicine 2023; 17(1): 1-18. [Persian]
- 14-Nowruzi B, Shalygin S. *Multiple Phylogenies Reveal a True Taxonomic Position of Dulcicalothrix Alborzica Sp. Nov. (Nostocales, Cyanobacteria)*. Fottea 2021; 21(2): 235-46.

- 15-Raj R, Kumari M. *Blue Green Algae (BGA) and Its Application*. Journal of Pharmacognosy and Phytochemistry 2020; 9(2): 287-96.
- 16-Garg D, Sarkar A, Chand P, Bansal P, Gola D, Sharma S, et al. *Synthesis of Silver Nanoparticles Utilizing Various Biological Systems: Mechanisms and Applications—A Review*. Prog Biomater 2020; 9(3): 81-95.
- 17-Geetha S, Vijayakumar K, Aranganayagam KR, Thiruneelakandan G. *Biosynthesis, Characterization of Silver Nanoparticles and Antimicrobial Screening by Oscillatoria Annae*. AIP Conf Proc 2020: 2270(1); 110026.
- 18-Ahmed F, Soliman FM, Adly MA, Soliman HA, El-Matbouli M, Saleh M. *In Vitro Assessment of the Antimicrobial Efficacy of Chitosan Nanoparticles Against Major Fish Pathogens and their Cytotoxicity to Fish Cell Lines*. J Fish Dis 2020; 43(9): 1049-63.
- 19-Al-Dhafri K, Ching CL. *Phyto-Synthesis of Silver Nanoparticles and Its Bioactivity Response Towards Nosocomial Bacterial Pathogens*. Biocatalysis and Agricultural Biotechnology 2019; 18: 101075.
- 20-Kashyap M, Samadhiya K, Ghosh A, Anand V, Shirage PM, Bala K. *Screening of Microalgae for Biosynthesis and Optimization of Ag/AgCl Nano Hybrids Having Antibacterial Effect*. RSC Advances 2019; 9(44): 25583-91.
- 21-Ismail GA, El-Sheekh MM, Samy RM, Gheda SF. *Antimicrobial, Antioxidant, and Antiviral Activities of Biosynthesized Silver Nanoparticles by Phycobiliprotein Crude Extract of the Cyanobacteria Spirulina Platensis and Nostoc Linckia*. Bionanoscience 2021; 11: 355-70.
- 22-Little RF, Hertweck C. *Chain Release Mechanisms in Polyketide and Non-Ribosomal Peptide Biosynthesis*. Nat Prod Rep 2022; 39(1): 163-205.
- 23-Nowruzi B, Blanco S, Nejadstattari T. *Chemical and Molecular Evidences for the Poisoning of a Duck by Anatoxin-A, Nodularin and Cryptophycin at the Coast of Lake Shoormast (Mazandaran Province, Iran)*. International Journal on Algae 2018; 20(4): 359-76.
- 24-Divya M, Vaseeharan B, Abinaya M, Vijayakumar S, Govindarajan M, Alharbi NS, et al. *Biopolymer Gelatin-Coated Zinc Oxide Nanoparticles Showed High Antibacterial, Antibiofilm and Anti-Angiogenic Activity*. Journal of Photochemistry and Photobiology B: Biology 2018; 178: 211-8.
- 25-Gulick AM, Aldrich CC. *Trapping Interactions between Catalytic Domains and Carrier Proteins of Modular Biosynthetic Enzymes with Chemical Probes*. Nat prod Rep 2018; 35(11): 1156-84.
- 26-El-Naggar NE, Hussein MH, El-Sawah AA. *Phycobiliprotein-Mediated Synthesis of Biogenic Silver Nanoparticles, Characterization, In Vitro and in Vivo Assessment of Anticancer Activities*. Sci Rep 2018; 8(1): 8925.
- 27-Husain S, Afreen S, Yasin D, Afzal B, Fatma T. *Cyanobacteria as A Bioreactor for Synthesis of Silver Nanoparticles-An Effect of Different Reaction Conditions on the Size of Nanoparticles and their Dye Decolorization Ability*. J Microbiol Methods 2019; 162: 77-82.

- 28-Yadav S, Chandra S, Amardeep, Kumar A, Awasthi M. *Green Synthesis of Silver Nano-Particle from Cyanobacteria and Effect on Microalgal Growth and Production of Exopolysaccharide (EPS)*. Cyanobacteria - Recent Advances and New Perspectives [Working Title]. IntechOpen; 2022. Available from: <http://dx.doi.org/10.5772/intechopen.106039>
- 29-Sahoo CR, Maharana S, Mandhata CP, Bishoyi AK, Paidesetty SK, Padhy RN. *Biogenic Silver Nanoparticle Synthesis with Cyanobacterium *Chroococcus Minutus* Isolated from Baliharachandi Sea-Mouth, Odisha, and in Vitro Antibacterial Activity*. Saudi J Biol Sci 2020; 27(6): 1580-6.
- 30-Supeng L, Guirong B, Hua W, Fashe L, Yizhe L. *TG-DSC-FTIR Analysis of Cyanobacteria Pyrolysis*. Physics Procedia 2012; 33: 657-62.
- 31-Mallikarjuna K, Narasimha G, Dillip GR, Praveen B, Shreedhar B, Lakshmi CS, et al. *Green Synthesis of Silver Nanoparticles Using Ocimum Leaf Extract and their Characterization*. Digest Journal of Nanomaterials and Biostructures 2011; 6(1): 181-6.
- 32-Kanipandian N, Kannan S, Ramesh R, Subramanian P, Thirumurugan R. *Characterization, Antioxidant and Cytotoxicity Evaluation of Green Synthesized Silver Nanoparticles Using Cleistanthus Collinus Extract as Surface Modifier*. Materials Research Bulletin 2014; 49: 494-502.
- 33-Shao Y, Wu C, Wu T, Yuan C, Chen S, Ding T, Ye X, Hu Y. *Green Synthesis of Sodium Alginate-Silver Nanoparticles and their Antibacterial Activity*. International Journal of Biological Macromolecules 2018; 111: 1281-92.
- 34-Manosalva N, Tortella G, Cristina Diez M, Schalchli H, Seabra AB, Durán N, et al. *Green Synthesis of Silver Nanoparticles: Effect of Synthesis Reaction Parameters on Antimicrobial Activity*. World J Microbiol Biotechnol 2019; 35(6): 1-9.
- 35-Yalçın D, Erkaya İA, Erdem B. *Antimicrobial, Antibiofilm Potential, and Anti-Quorum Sensing Activity of Silver Nanoparticles Synthesized from Cyanobacteria *Oscillatoria Princeps**. Environ Sci Pollut Res Int 2022; 29(59): 89738-52.
- 36-Kuraganti GS, Edla S, Dasari T, Reddy M. *Characterization, In Vitro Cytotoxic and Antibacterial Exploitation of Green Synthesized Freshwater Cyanobacterial Silver Nanoparticles*. Journal of Applied Pharmaceutical Science 2020; 10(9): 088-98.
- 37-Vanlalveni C, Rajkumari K, Biswas A, Adhikari PP, Lalfakzuala R, Rokhum L. *Green Synthesis of Silver Nanoparticles Using Nostoc Linckia and Its Antimicrobial Activity: A Novel Biological Approach*. Bionanosci 2018; 8: 624-31.
- 38-Hanna AL, Hamouda HM, Goda HA, Sadik MW, Moghanm FS, Ghoneim AM, et al. *Biosynthesis and Characterization of Silver Nanoparticles Produced by *Phormidium Ambiguum* and *Desertifilum Tharense* Cyanobacteria*. Bioinorg Chem Appl 2022; 2022: 9072508.
- 39-Wu Y, Yang Y, Zhang Z, Wang Z, Zhao Y, Sun L. *A Facile Method to Prepare Size-Tunable Silver Nanoparticles and Its Antibacterial Mechanism*. Advanced Powder Technology 2018; 29(2): 407-15.
- 40-Javed R, Zia M, Naz S, Aisida SO, Ain NU, Ao Q. *Role of Capping Agents in the Application of*

- Nanoparticles in Biomedicine and Environmental Remediation: Recent Trends and Future Prospects.* Nanobiotechnol 2020; 18: 1-5.
- 41-Seku K, Gangapuram BR, Pejjai B, Kadimpati KK, Golla N. *Microwave-Assisted Synthesis of Silver Nanoparticles and their Application in Catalytic, Antibacterial and Antioxidant Activities.* Journal of Nanostructure in Chemistry 2018; 8: 179-88.
- 42-Hamida RS, Abdelmeguid NE, Ali MA, Bin-Meferij MM, Khalil MI. *Synthesis of Silver Nanoparticles Using a Novel Cyanobacteria Desertifilum Sp. Extract: Their Antibacterial and Cytotoxicity Effects.* International Journal of Nanomedicine 2020: 49-63.
- 43-Aletayeb P, Ghadam P, Mohammadi P. *Green Synthesis of AgCl/Ag<sub>3</sub> PO<sub>4</sub> Nanoparticle Using Cyanobacteria and Assessment of Its Antibacterial, Colorimetric Detection of Heavy Metals and Antioxidant Properties.* IET Nanobiotechnology 2020; 14(8): 707-13.
- 44-Karageorgou D, Zygouri P, Tsakiridis T, Hammami MA, Chalmpes N, Subrati M, et al. *Green Synthesis and Characterization of Silver Nanoparticles with High Antibacterial Activity Using Cell Extracts of Cyanobacterium Pseudanabaena/Limnothrix Sp.* Nanomaterials 2022; 12(13): 2296.
- 45-Rozhin A, Batasheva S, Kruchkova M, Cherednichenko Y, Rozhina E, Fakhullin R. *Biogenic Silver Nanoparticles: Synthesis and Application as Antibacterial and Antifungal Agents.* Micromachines 2021; 12(12): 1480.
- 46-Hamida RS, Ali MA, Goda DA, Redhwan A. *Anticandidal Potential of Two Cyanobacteria-Synthesized Silver Nanoparticles: Effects on Growth, Cell Morphology, and Key Virulence Attributes of Candida Albicans.* Pharmaceutics 2021; 13(10): 1688.
- 47-Elkomy RG. *Antimicrobial Screening of Silver Nanoparticles Synthesized by Marine Cyanobacterium Phormidium Formosum.* Iran J Microbiol 2020; 12(3): 242-8.

## Studying the Antimicrobial Effects of Silver Nanoparticles Coated with Alginate Biosynthesized by *Dulcicalothrix alborzica*

Bahareh Nowruzi<sup>\*1</sup>, Hassan Beyranvand<sup>1</sup>

### Original Article

**Introduction:** Nowadays, Cyanobacteria are one of the important candidates in the green biosynthesis of nanoparticles. Considering the detrimental effects of chemically synthesized nanoparticles, the aim of this study was the biosynthesis and antimicrobial activity of nanoparticles by aquatic cyanobacterium.

**Methods:** Silver nanoparticles (AgNPs) were biosynthesized using three different approaches: wet biomass, boiling, and extracellular polysaccharides (EPS). Alginate coating was employed to enhance the nanoparticles' stability. Characterization of the nanoparticles was performed using UV-vis spectroscopy, Fourier transform infrared (FTIR) analysis, scanning electron microscopy (SEM), transmission electron microscopy (TEM), and zeta potential measurements. The antimicrobial properties of the nanoparticles were evaluated against fish pathogenic bacteria and fungi. Statistical analyzes were performed with SPSS version 16 software, and the significant difference between the means was performed with one-way analysis of variance with 95% confidence limits and Tukey's test, and the results were drawn as a graph with Excel software.

**Results:** The UV-vis spectroscopy results confirmed the synthesis of AgNPs in all three methods. FTIR analysis revealed similar spectra for all three methods, indicating comparable purity and production of similar compounds. Electron microscope images showed the sphericity of nanoparticles prepared by boiling method, and the average diameter of uncoated and alginate coated nanoparticles was 38 and 180.04 nm, respectively. Zeta potential analysis indicated a positive surface charge on the nanoparticles. The highest zone of inhibition was observed for AgNPs synthesized by the boiling method and coated with alginate. Similar results were obtained for the antifungal activity, with *Saprolegnia* exhibiting higher sensitivity to the synthesized nanoparticles compared to the other species studied.

**Conclusion:** The novel strain *Dulcicalothrix alborzica* demonstrated potential as a potent producer of AgNPs with unique properties and promising applications in microbial biotechnology.

**Keywords:** Antimicrobial activity, Alginate-coated silver nanoparticles, *Dulcicalothrix alborzica*, Fish pathogens.

**Citation:** Nowruzi B, Beyranvand H. Studying the Antimicrobial Effects of Silver Nanoparticles Coated with Alginate Biosynthesized by *Dulcicalothrix alborzica*. J Shahid Sadoughi Uni Med Sci 2024; 32(8): 8118-40.

<sup>1</sup>Department of Biotechnology, Faculty of Converging Sciences and Technologies, Islamic Azad University, Science and Research Branch, Tehran, Iran.

\*Corresponding author: Tel: 09113710956, email: bahareh.nowruzi@srbiau.ac.ir